2 b 4-п ь 8 8 ъ в С Д О К Л А Д Ы

XXXVI, №3 1963

Խմբագրական կոլեգիա

Редакционная коллегия

В. А. АМБАРЦУМЯН, академик, Э. Г. АФРИКЯН, кандидат биологических наук, А. Т. БАБАЯН, чл.-корресп. АН АрмССР, Г. М. ГАРИБЯН, доктор физико-мат. наук, М. М. ДЖРБАШЯН, академик АН АрмССР (отв. редактор), В. О. КАЗАРЯН, доктор биологических наук (зам. отв. редактора), С. А. МИР-ЗОЯН, чл.-корресп. АН АрмССР, С. С. МКРТЧЯН, академик АН АрмССР, А. Г. НАЗАРОВ, академик АН АрмССР, О. М. САПОНДЖЯН, чл.-корресп. АН АрмССР, В. М. ТАРАЯН, чл.-корресп. АН АрмССР.

Ո, անքվ աթիվա
Հ. Մ. Սարտիրոսյան— <i>Մի քանի ոչ ինքնահամալուծ օպերատորների սպե</i> կ- տրի մասին
Ն․ Դ. Պեցկո <i>—Պրոեկտրվ մետրիկան և կոմպլեքս Թվերը</i> ․ ․ ․ ․ ․
ծումների մի շարք հատկություններ
հաշվի ֆունկցիաների կայունության որոշ հարցեր
Մեխանիկա
Մ. Ա. Զաղոյահ— <i>Ոլորման ժամա</i> նակ կոնական ձողի սողքը, որի Նյութը օժտված է չկայունացված անհամասեռությամբ
Ֆիզիկա
Մ. Ռ. Մազուքեղով — Երկու դիսպերսող միջավայրերում ալիքային հավասարման Գրինի ֆունկցիան
Ցան Շի <i>– Սպի</i> նային ալիքների սպեկտրի մասին
Ծւկւաբանություն
8ու Ա. Լեյե — Ղափանի հանքաղաչտի վերին րայոսի հրարխային ապարատի և նրա հետ կապված մոլիրդենիտի երևակման մասին
Ռադիոեւկւաբանություն
Ու հու Ղուկասյան—Երիտասարդ ինտրուղիաների բացարձակ հասակի որոշումը Rb—Տr մեթիոդով Հայկական ՍՍՌ Մեղրու պլուտոնի օրինակով
Սուստիզուֆիա
Ս. Պ. Բալյան—Նոր տվյալներ Հայաստանի հնագույն սառցապատումների մասին
Պալեոնոոլոգիա
Վ. Բ. Հակոբյան— Հայկական ՍՍՈՒ ուշկավճային նոր փորոտանիներ
Կենսաբանություն
Մ. Խ. Չայլախյան, <i>Հայկական ՍՍՌ ԳԱ Թղթակից-անդամ</i> , Ա. Ա. Մեհրաբյան, Ն. Ա. Կարապետյան և Ն. Լ. Դալաջյան <i>—Աճման ակտիվատորների ազդևցությունը</i>

СОДЕРЖАНИЕ

	Стр
Математика	
Р. М. Мартиросян—О спектре некоторых несамосопряженных операторов	137
А. В. Петросян—Некоторые вопросы помехоустойчивости функций ал- гебры логики	147
Механика	
М. А. Задоян—Ползучесть при кручении круглого конического стержня, материал которого обладает свойством нестационарной неоднородности · · · ·	153
Физика	
М. Р. Магомедов—Функция Грина для волнового уравнения в случае двух диспергирующих сред	157 163
Геология	
Ю. А. Лейе—О верхнебайосском вулканическом аппарате и связанном с ним проявлении молибденита из Кафанского рудного поля	169
Радиогеология	
Р. Х. Гукасян — Определение абсолютного возраста молодых интрузивов Rb—Sr методом на примере Мегринского плутона Армянской ССР	173
Стратиграфия	
С. П. Бальян — Новые данные о древнем оледенении Армении	179
Палеонтология	
В. Т. Акопян—Новые позднемеловые гастроподы Армянской ССР	183
Биология	
М. Х. Чайлахян, члкорр. АН Армянской ССР, А. А. Меграбян, Н. А. Карапетян и Н. Л. Каладжян—О действии ростовых активаторов на образование клубеньков и рост растений люцерны	189

XXXVI .

1963

3

МАТЕМАТИКА

Р. М. Мартиросян

О спектре некоторых несамосопряженных операторов

Представлено академиком АН Армянской ССР М. М. Джрбашяном 15/Х 1962 г

В заметке приводится ряд теорем о спектре несамосопряженных возмущений самосопряженных дифференциальных операторов в частых производных с постоянными коэффициентами общего вида.

Пусть A — несамосопряженный гнеограниченный) линейный оператор в гильбертовом пространстве H. Следуя Денфорду, будем говорить, что точка $\lambda = \lambda_0$ является точкой непрерывного спектра оператора A, если λ_0 не является собственным значением этого оператора и многообразие $(A - \lambda_0 E) D_A$, где D_A — область определения оператора A, всюду плотно и незамкнуто.

Следующее предложение является обобщением теоремы 1 иззаметки автора $(^1)$.

Теорема 1. Пусть R_+ — резольвента несамосопряженного линейного оператора A (неограниченного) в гильбертовом пространстве H и S— ограниченный линейный оператор (несамосопряженный). Точка k_0 непрерывного спектра оператора A остается точкой непрерывного спектра оператора $T = A + S^2$, если существует такая последовательность $k_0 \to k_0$, для которой

$$\sup \|(\lambda_n - \lambda_0)R_{\lambda_n}\| < \infty \tag{1}$$

$$\lim \sup ||SR_{\lambda_n}S|| = q < 1.$$
 (2)

и оператора $T = A + S^2$, если $||SR_{i_0}S|| < 1$.

Замечание. Если A — нормальный оператор (т. е. D_A плотно и $AA^* = A^*A$), то, как известно, $\|R_\lambda\| \leqslant \frac{1}{a_\lambda}$, где d_λ — расстоя-

име от λ до спектра оператора A. Поэтому в этом случае условие (1) можно снять и потребовать, чтобы (2) имело место для последовательности λ_n , приближающейся к λ_0 , в направлении, не касательном в енектру оператора A в точке λ_0 , точнее, для последовательности λ_n для которой

129

$$\sup \frac{|\lambda_n - \lambda_0|}{d\lambda_n} < \infty.$$

Обозначим, далее, через E_n все n - мерное вещественное евклидово пространство. Пусть K_n — многообразие всех финитных неограниченно дифференцируемых комплексных функций, определенных на E_n . Определим на K_n дифференциальный оператор произвольного порядка m с постоянными коэффициентами формулой

$$Au = \sum_{0 \leqslant x_1 + \dots + \alpha_n \leqslant m} a_{\alpha_1 \dots \alpha_n} (i)^{\alpha_1 + \dots + \alpha_n} \frac{\partial^{\alpha_1 + \dots + \alpha_n} u}{\partial x_1^{\alpha_1} \partial x_2^{\alpha_2} \dots \partial x_n^{\alpha_n}}, \quad u \in K_n, (3)$$

или, короче,

$$Au = P\left(i\frac{\partial}{\partial x}\right)u, \quad u \in K_n, \tag{4}$$

где

$$P(s) = \sum_{\alpha_1 + \dots + \alpha_n = m} a_{\alpha_1 \dots \alpha_n} s_1^{\alpha_1} \dots s_n^{\alpha_n}.$$
 (5)

Здесь коэффициенты a_{a_1,\ldots,a_n} предполагаются вещественными постоянными. Очевидно, оператор A симметрический. Как показано в (1), пространстве $L_2(E_n)$ индексы дефекта оператора $A(D_A=K_n)$, определенного формулой (4), равны (0,0). В дальнейшем под оператором

$$Au = P\left(i\frac{\partial}{\partial x}\right)u, \qquad u \in \Omega_n, \tag{6}$$

будем понимать замыкание оператора (4) и через Ω_n будем обозначать область его определения. Легко видеть, что спектр оператора A чисто непрерывен и совпадает с множеством значений полином P(s), когда s пробегает все пространство E_n .

Доказательство приводимых в этой заметке теорем существенно опирается на следующие леммы.

Пемма 1. В $L_2(E_n)$ оператор умножения на комплексно значную непрерывную функцию q(x), стремящуюся к нулю на весконечности, A — вполне непрерывен, где самосопряженный оператор A определен формулой (6).

Пемма 2. Пусть комплекснозначная измеримая функци q(x) ограничена и $q(x) \in L_2(E_n)$. Пусть, далее, R_n — резольвент оператора A, определенного формулой (6). Тогда норма оператор qR_nq , состоящего в том, что функция и $\in L_2(E_n)$ умножается q(x), к произведению qu применяется оператор R_n и полученны результат вновь умножается на q(x), допускает оценку

$$\|qR_{\lambda}q\| \leq \frac{1}{(2\pi)^n} \sup \left| \int_{E} \frac{e^{-i(t,x)}dt}{P(t)-\lambda} \right| \|q\|^2.$$

чтобы сформулировать следующую лемму, предположим, что полином P(s) имеет вид

$$P(s) = P(s_1^2 + \cdots + s_n^2),$$
 (8)

 $r_{\text{де}} P(r^2)$ — произвольный полином от одной переменной $r^2 = s_1^2 + s_2^2$. Тогда спектр оператора

$$Au = P(-\Delta)u, \qquad u - \Omega_n, \tag{9}$$

определяемого таким же образом, как и более общего вида оператор (6), чисто непрерывен и состоит из тех и только тех для которых при некотором $r^2 \geqslant 0$ имеем $P(r^2) - \lambda = 0$. Пусть $r_1, r_2, \dots, r_k -$ все отличные друг от друга неотрицательные нули полинома $2rP'(r^2) =$

 $=rac{d}{dr}P(r^2)$. Положим $\lambda_k=P(r^2)$ и через λ будем обозначать совокуп-

ность этих /ж

$$\Lambda = \{ \lambda_k : \lambda_k = P(r_k^2), \ 2r_k P'(r_k) = 0 \}.$$
 (10)

Лемма 3. Пусть R_{λ} — резольвента оператора A_{λ} , определенного формулой (9), а комплекснозначная измеримая функция q(x) при некотором $\epsilon > 0$ удовлетворяет неравенству

$$|q(x)| \le Ce^{-|x|}, |x| = |x| + \cdots + x^2, C = \text{const.}$$
 (11)

Пусть, далее, L_0 — точка спектра оператора A и $L_0 \in \Lambda$, где множество Λ определено формулой (10). Гогда некоторая окрестность точки L_0 в комплексной плоскости разбивается спектром оператора A на две области G_1 и G_2 и оператор qR_1q , рассматриваемый в одной из них (например, в G_1), допускает аналитическое продолжение по λ в другую область ($\lambda \in G_2$).

Замечание. Заметим, что точки множества Λ для оператора $qR_{k}q$ могут оказаться точками ветвления. Пусть, например, полином P(t) от одной переменной t имеет вид $P(t)=t^{2}$, т. е. Au=-u'' на всей вещественной оси. Тогда, как легко видеть, оператор $qR_{k}q$ имеет вил

$$qR_{\lambda}qu = -\int q(x) \frac{e^{i\sqrt{\lambda}|x-t|}}{2i\sqrt{\lambda}} q(t) u(t) dt$$

не допускает аналитического продолжения через точку $\lambda=0$. Ясно, про при этом множество Λ состоит из этой единственной точки $\lambda=0$.

Ниже мы будем предполагать, что полином P(s) с веществен
ными коэффициентами, определенный формулой (5), удовлетворяет
условию

$$\lim_{R\to\infty} \inf_{|s|>R} |P(s)| = \infty. \tag{12}$$

Мы будем интересоваться характером спектра возмущенного ператора вида Tu = Au + qu, $u \in \Omega$, где функция q(x) — комплекс-

смысле обобщает известный результат В. Б. Лидского (2) для возму. щенного оператора Лапласа.

Теорема 2. Пусть оператор A определен формулой (6) и удовлетворяет условию (12), а q(x) — комплекснозначная непрерывная функция, стремящаяся к нулю на бесконечности. T_{0700} весь спектр оператора A содержится в спектре возмущенного оператора Tu = Au + qu, $u \in \Omega_n$. Точки спектра оператора T, лежащие вне спектра оператора A, могут быть лишь собственными значениями конечной кратности, не имеющими предельных точек вне спектра оператора A.

Чтобы сформулировать следующие теоремы, необходимо наложить дополнительные ограничения на оператор A. Мы будем предполагать, что оператор A определен формулой (9), где полином P(r) имеет вещественные коэффициенты. Условие (12), очевидно, выполняется.

Теорема 3. Пусть самосопряженный оператор A определен формулой (9), а множество Λ — формулой (10). Пусть, далее, комплекснозначная измеримая функция q(x) при некотором $\epsilon > 0$ удовлетворяет неравенству

$$|q(x)| \le Ce^{-\varepsilon |x|}, \quad |x| = V \overline{x_1^2 + \dots + x_n^2}, \quad C = \text{const.}$$
 (13)

Тогда собственные значения оператора Tu = Au + qu (включая и те, которые лежат на спектре оператора A) могут сгущаться лишь к точкам множества Λ и к бесконечности.

Доказательство опирается на следующие два предложения. Если через Φ_{λ} обозначить оператор, существующий согласно лемме 3 в некоторой окрестности точки $\lambda = \lambda_0$ и совпадающий с оператором $\sqrt{q}\,R_{\lambda}\sqrt{q}$ для тех λ из этой окрестности, которые лежат в верхней полуплоскости, а для остальных λ из этой окрестности совпадающий с аналитическим продолжением оператора $\sqrt{q}\,R_{\lambda}\sqrt{q}$, то оператор Φ_{λ} вполне непрерывен в полной окрестности точки $\lambda = \lambda_0$. С другой стороны, если λ_0 принадлежит спектру оператора A и является собственным значением оператора Tu = Au + qu, то

1.i.m.
$$(E + 1 q R_{m-1} / q) v = 0$$
 $(\text{Im } \tau = 0)$

при некотором v, ||v|| > 0.

Теорема 4. Пусть самосопряженный оператор A определен формулой (9) и пусть степень многочлена $P(r^2)$ больше p^{n^3} мерности п нечетномерности пространства E_n . Если ограниченная, измеримая, комплекснозначная функция q(x) суммируема, то вей дискретный спектр оператора Tu = Au + qu (включая собственные значения, лежащие на спектре оператора A) ограничен, np^{n^3} чем вне некоторого круга комплексной плоскости с центром начале координат спектр оператора T чисто непрерывен и совто дает со спектром оператора A.

Доказательство основано на лемме 2 и равномерном по x стремлении к нулю интеграла

$$\int_{E_n} \frac{e^{i(t_1x_1+\cdots+t_nx_n)}}{P(t_1^2+\cdots+t_n^2)-\lambda} dt$$

при стремлении / к бесконечности.

Заметим, что теорема 4 еще не дает возможности утверждать, что дискретный спектр оператора Tu=Au+qu конечен, даже если q(x) удовлетворяет условию (13) теоремы 3. Это связано с тем, что точки множества Λ могут оказаться предельными для собственных значений оператора T. Даже в простейшем случае полигармонического оператора, когда множество Λ состоит из единственной точки $\lambda=0$, не ясно, как можно обойти возникающие здесь трудности путем сколько-нибудь общих соображений. Тем не менее, в этом случае дискретный спектр оказывается конечным. Например, для бигармонического оператора в трехмерном пространстве справедливо следующее утверждение.

Теорема 5. Пусть измеримая и определенная на всем трехмерном евклидовом пространстве E_3 функция q(x) при некотором >0 удовлетворяет условию

$$|q(x)| \le Ce^{-\varepsilon|x|}$$
, $C = \text{const.}$

Тогда множество собственных значений (включая и положительные) оператора $Tu = \Delta \Delta u + qu$ конечно. Остальная часть спектра оператора T чисто непрерывна и состоит из всех точек положительной полуоси, не являющихся собственными значениями оператора T.

При доказательстве используется аппарат Фредгольма в несколько видоизмененной форме. Именно, пусть измеримая функция $\Phi(x, y)$ ограничена, а $q(x) \in L(E)$, $q(x) \in L_2(E)$, где E— неограниченная область евклидова пространства. Тогда ряд

$$D(\lambda) = 1 + \sum_{n=1}^{\infty} (-1)^n \frac{\lambda^n}{n!} d_n,$$

^{рп}ределяющий знаменатель Фредгольма для ядра $\Phi(x, y) q(y)$, схо-

$$u(x) = \lambda_0 \int_E K(x, y) u(y) dy, \qquad u \in L_2(E),$$

the $K = \Phi q$.

меет лишь тривиальное решение в пространстве $L_2(E)$.

Институт математики и механики Академии наук Армянской ССР

Մի քանի ոչ ինքնահամալուծ օպերաչունեւի սպեկչւի մասին

Ս.թիւատանքի հիմնական արդյունքները ըերվում են հետևյալին.

Թեորեվ 1։ Գիցուկ R - ն ճիլբերայան տարածության մեջ ոչ ինքնանամարա փակ գծային անսանմանավակ A օպերատորի ռեզոլվենտան է և S - թ ստճմանափակ գծային օպերատոր է (ոչ ինքնանամալուծ) A օպերատորի անընդնատ սպեկտրին պատկանգ λ_n կետը մնում է $T=A+S^2$ օպերատորի անընդնատ սպեկտրի կետ, եթե գոյություն ուկ այնպիսի λ_n ճաջորդականություն, որի նամար

$$\sup \| (h_n - h_0) R_{h_n} \| < \infty,$$

$$\lim \sup \| SR_{h_n} S \| = q < 1.$$

A օպերաատրի $\lambda=\lambda_n$ ռեզուլյար կետը մնում է T օպերատորի ռեզուլյար կետ, եթե

$$||SR_{i,o}S|| < 1.$$

Այնուհետև նչանակներ E_n-ով n չափանի իրական էվկլիզյան տարաձությունը Դիցուկ K_n-ը E_n-ում սահմանված բոլոր ֆինիտ անվերջ <mark>դիֆերենցիալ կոմպլե</mark>քս ֆունի ցիաների ըազմությունն է։ Մահմանենք K_n-ում հաստատուն դործակիցներով կամայական m կարրի գիֆերենցիալ օպերատոր հետևյալ ըանաձևով

$$Au = P\left(i\frac{\partial}{\partial x}\right)u, \quad u \in K_n, \quad . \tag{}$$

spully

$$P(s) = \sum_{\alpha_1 + \dots + \alpha_n < m} \alpha_{\alpha_1 \dots \alpha_n} s_1^{\alpha_1} \dots s_n^{\alpha_n}, \qquad (2)$$

և ա

Հեղինակի աշխատության մեջ ցույց է տրված, որ հետազոտվող օպերատորի դե ֆեկտի ինղեքսը հավասար է (0, 0) և այդ իսկ պատճառով A օպերատորի տակ կհատի նանք (1) բանաձևով որոշված օպերատորի ինքնահաժալուծ ընդլայնումը

$$Au = P\left(i\frac{\partial}{\partial x}\right)u, \quad u \in \Omega_n,$$

 P_n -ով կնչանակենք նրա որոչման աիրույթը։ Մենք նաև կենթաղրենք, որ (2) բանաձև որոշվող P(s) բաղմանդամը բավարաբում է

$$\lim_{R\to\infty} \inf_{|S|=R} |P(s)| = \infty$$

of the man by miles

Վերջապես, եթե P(s) ըաղմանդամը ունի

$$P(s) = P(s_1^2 + \cdots + s_n^2)$$

տեսք, որտեղ $P(r^2)$ -ն $r^2=s_1^2+\cdots+s_n^2$ փոփոխականի կամայական թազժանդամն է) ու տուժնասիրենք Λ բազժանդամը, սահժանված հետևյալ կերպ։ Դիցուկ r_1,\ldots,r_k -ներ $\frac{d}{dr}P(r^2)$ բազժանդամի իրարից տարբեր ոչ բացասական արժատներն են։ Նշանակն Λ -ով λ_k -երի հաժախումիը, որտեղ $\lambda_k=P(r_k^2)$.

p և որ և d 2. Գիցուկ A օպերատորը սահմանված է (3) բանաձևով և բավարարում է (4) պայմանին, իսկ q(x)-ը անընդհատ ֆունկցիա է զրոյի ձգտող և կոմպլերս արժեք-ներ ընդունող։ Այդ դեպքում A օպերատորի ամբողջ սպեկտրը ընդգրկվում է Tu = Au + qu, uE2n, օպերատորի սպեկտրի մեջ։ T օպերատորի սպեկտրի կետերը, որոնք չեն պատկանում A օպերատորի սպեկտրին, կարող են ճանդիսանալ միայն վերջավոր պատիկություն ունեցող սեփական արժեքներ, որոնք չունեն սահմանային կետեր A օպերատորի սպեկտրից դուրս։

 f_{ab} արտատես 3։ Դիցուկ A օպերատորը ստնմանված է (3) բանաձևով և P(s) բազստնդամը ունի (5) տեսքը, դիցուկ այնուհետև կոմպլեքս արժեք ընդունող, չափելի g(x)

Ֆունկցիան որևէ - Օ-ի դեպքում բավարաբում է

$$|q(x)| \le Ce^{-xx}$$
, $|x| = |x_1^2 + \cdots + x_n^2$, $C = \text{const.}$

ambiforGhG:

Այդ դեպքում Tu=Au-qu օպեշատորի սեփական արժեքները (ներառյալ և A օպեշրատորի սպեկ<mark>տրին պատկանողնե</mark>րը) կարող են խտանալ միայն A բազմության կետերում կամ անվերջում։

Թեռըն մ 4։ Դիցուկ A ինքնանամալուծ օպերատորը որոշված է (3) բանաձևով, իսկ P(s) բազմանդամը ունի (5) տեսքը։ Դիցուկ այնունետև $P(r^2)$ բազմանդամի կարգը E_n կենտչափանի տարածության չափողականությունից մեծ է։ Եթե q(x)-ը սանմանափակ չափելի կոմպլեքս արժեքներ ընդունող նանրագումարելի ֆունկցիա է, ապա Tu = Au + qu օպերատորի ամբողջ դիսկրետ սպեկտրը (ներտռյալ և A օպերատորի սպեկտրի վրա դոնվող սեփական արժեքները) սանմանափակ է, ընդ որում կոմպլեքս նարքության որոշ շրջանից դուշս, որի կենտրոնը սկզբնակետումն է, T օպերտտորի սպեկտրը զուտ անընդշնան է և նամընկնում է A օպերտտորի սպեկտրը նետ։

ЛИТЕРАТУРА— ԳРԱЧИ. БИРВЯПЬБ

Р. М. Мартиросян, ДАН АрмССР, т. XXXIV, № 2 (1962). ² В. Б. Лидский, ДАН СССР, т. 112, № 6 (1957).



МАТЕМАТИКА

Н. Д. Пецко

Проективные мероопределения и комплексные числа

(Представлено академиком АН Армянской ССР А. Л. Шагиняном 26/ХІ 1962)

Применению комплексных чисел трех видов — обычных комплексных чисел a + bi ($i^2 = -1$), двойных чисел a + be ($e^2 = 1$), дуальных чисел $a + b\varepsilon$ ($\varepsilon^2 = 0$) — ко всевозможным двумерным пространствам с проективной метрикой посвящена работа И. М. Яглома (1). В настоящей работе результаты работы (1) обобщаются на широкий класс пространств с проективной метрикой произвольной размерности.

1. Всякая прямая линия n-мерного эллиптического пространства S_n (2), стр. 151) пересекает его мнимый абсолют, совпадающий с абсолютом комплексного пространства S_n (i) ((2), стр. 159), в двух мнимосопряженных точках. Если мы будем различать ориентацию прямых пространства S_n , то получим, что многообразие ориентированных прямых пространства S_n взаимно однозначно изображается точками абсолюта комплексного пространства S_n (i). При этом группа движений пространства S_n изображается подгруппой группы движений пространства S_n (i), переводящей в себя пространство S_n , погруженное в S_n (i) в виде многообразия действительных точек.

При n=2 это изображение равносильно изображению многообразия прямых плоскости S_2 на комплексной проективной прямой, т. е. изображению самой плоскости S_2 на расширенной плоскости комплексного переменного ((2), стр. 416-420 и 484-486).

2. В n-мерном гиперболическом пространстве ${}^{l}S_{n}$ ((2), стр. 151) все прямые, за исключением изотропных прямых (т. е. прямых, касающихся абсолюта), делятся на два класса: эллиптические прямые— прямые, не пересекающиеся с абсолютом, и гиперболические прямые— прямые, пересекающие абсолют в двух точках.

Всякая эллиптическая прямая пространства S_n пересекает его абсолют в двух мнимосопряженных точках. Но мнимые точки абсолюта вместе с его действительными точками составляют абсолют пространства $S_n(i)$. Поэтому многообразие ориентированных эллиптических прямых пространства S_n взаимно однозначно изобра-

жается точками абсолюта комплексного пространства $S_n(i)$, отличными от точек абсолюта пространства lS_n , погруженного в пространство $S_n(i)$ в виде многообразия действительных точек. При этом группа движений пространства lS_n изображается подгруппой группы движений пространства $S_n(i)$, переводящей в себя пространство $S_n(i)$.

При n=2 это изображение равносильно изображению много-образия прямых плоскости S_2 положительной кривизны на комплексной проективной прямой, т. е. интерпретации Пуанкаре плоскости Лобачевского на плоскости комплексного переменного ((2), стр. 421-423 и 484-487).

3. Всякая гиперболнческая прямая пространства ${}^{l}S_{n}$ пересекает его абсолют в двух действительных точках, которые можно изобразить одной точкой абсолюта гиперболического пространства ${}^{l}S_{n}(e)$, над двойными числами a+be, $e^{2}=+1$. Поэтому многообразие ориентированных гиперболических прямых пространства ${}^{l}S_{n}$ взаимно однозначно изображается точками абсолюта двойного пространства ${}^{l}S_{n}(e)$, отличными от точек абсолюта пространства ${}^{l}S_{n}$, погруженного в пространство ${}^{l}S_{n}(e)$ в виде многообразия действительных точек. При этом группа движений пространства ${}^{l}S_{n}$ изображается подгруппой группы движений пространства ${}^{l}S_{n}(e)$, переводящей в себя пространство ${}^{l}S_{n}$.

При n=2 это изображение равносильно изображению много-образия прямых плоскости Лобачевского на двойной проективной прямой, т. е. изображению плоскости 1S_2 положительной кривизны на расширенной плоскости двойного переменного ((2), стр. 420-423 и 484-487).

4. Так как n-мерное евклидово пространство R_n может быть получено предельным переходом и из эллиптического пространства S_n и из гиперболического пространства 15, причем прямые пространства R_n получаются предельным переходом из прямых пространства S_n п гиперболических прямых пространства ${}^{1}S_{n}$, а многообразия ориентированных прямых пространства 8, и ориентированных гиперболических прямых пространства S, как мы видели, взаимно однозначно изображаются точками абсолютов пространства $S_n(i)$, которое можно рассматривать как пространство ${}^{1}S_{n}(i)$ и пространство ${}^{1}S_{n}(e)$, то ориентированные прямые пространства R_n можно изобразить точками абсолюта гиперболического пространства 15, (з) над дуальными числами $b+b\varepsilon$, $\varepsilon^{1}=0$. Тогда многообразие ориентированных прямых евклидова пространства R, взаимно однозначно изображается парами точек абсолюта дуального пространства Лобачевского ¹S_n(z), переводящимися друг в друга преобразованием 'ξ' = ξ 'ξ' = - ξ' (2>0). При этом группа движений пространства R_n изображается подгруппой группы движений пространства 1Sn(z), переводящей $=-\xi^{\alpha}(\alpha>0).$

При n=2 это изображение равносильно изображению многообразия прямых плоскости R_2 на дуальной проективной прямой, т. е. на плоскости дуального переменного, предложенному И. М. Ягломом $\binom{1}{2}$.

5. В n-мерном квазиэллиптическом пространстве S_n^l (3) все прямые делятся на три класса: эллиптические прямые первого рода прямые, не пересекающиеся с абсолютной плоскостью, эти прямые пересекают абсолютный конус в двух точках, эллиптические прямые второго рода — прямые, целиком лежащие на абсолютной плоскости, эти прямые пересекают абсолютную квадрику в двух точках, и евклидовы прямые — прямые, пересекающие абсолютную плоскость в одной точке.

Так же, как в случае пространства S_n , показывается, что много-образие ориентированных эллиптических прямых первого рода пространства S_n взаимно однозначно изображается точками абсолютного конуса комплексного пространства S_n^l (i), отличными от точек вершинной плоскости абсолютного конуса. При этом группа движений пространства S_n^l изображается подгруппой группы движений пространства S_n^l (i), переводящей в себя пространство S_n^l , по руженное в пространство S_n^l (i) в виде многообразия действительных точек.

При n=2 это изображение равносильно изображению много-образия прямых плоскости, соответствующей евклидовой плоскости, R_2 по принципу двойственности из комплексной проективной прямой, т. е. обычному представлению плоскости R_2 на плоскости комплексного переменного.

Вершинная плоскость абсолютного конуса пространства S_n , т. е. абсолютная плоскость этого пространства, представляет собой эллиптическое пространство S_{n-l-1} . Поэтому многообразие ориентированных эллиптических прямых второго рода пространства S_n^l взаимно однозначно изображается точками абсолютной квадрики пространства S_n^l (i), т. е. точками абсолюта пространства $S_{n-l-1}(i)$.

6. Квазиэллиптическое пространство S_n^l может быть получено предельным переходом и из эллиптического пространства S_n и из гиперболического пространства lS_n , причем эллиптические прямые пространства S_n^l получаются предельным переходом из прямых пространства S_n^l и эллиптических прямых пространства lS_n , а евклидовы прямые пространства S_n^l получаются предельным переходом из прямых пространства S_n^l и гиперболических прямых пространства S_n^l . Так как многообразия ориентированных прямых пространства S_n^l и ориентированных гиперболических прямых пространства S_n^l взаимно однозначно изображаются точками абсолютов пространств S_n^l (l), которые можно рассматривать как пространство $^lS_n^l$ (l) и пространство $^lS_n^l$ (l), то ориентированные евклидовы прямые пространства S_n^l можно изо-

-бразить точками абсолюта дуального гиперболического пространства ${}^{t}S_{n}(\epsilon)$. Это изображение уже не может быть взаимно однозначным. так как точки абсолюта пространства ${}^{l}S_{n}(\varepsilon)$ зависят от 2(n-1) действительных параметров, а евклидовы прямые пространства S_n^L зависят от 2(n-1)-l действительных параметров. Будем называть lцепями многообразия точек абсолюта пространства ${}^{\prime}S_n$ (ϵ), координаты ξ^a которых имеют вид $x^a + \epsilon y_0^a$, где $x^a -$ произвольные действительные числа, y_0^a — постоянные действительные числа, а координаты ξ_0^a постоянные дуальные числа. Эти многообразия l-мерны, так как l-1чисел x^a связаны одним условием нормирования. Тогда многообразие ориентированных евклидовых прямых квазиэллиптического пространства S_n^l взаимно однозначно изображаются l-цепями на абсолюте дуального пространства $S_n(z)$. При этом группа движений пространства S_n^l изображается подгруппой группы движении пространства 'Sn(z), переводящей в себя многообразие точек, удовлетворяющих условию

$$\xi a = \overline{\xi}a, \quad \xi u = -\overline{\xi}u.$$

Коломенский педагогический институт

Պորեկցիվ մեջրիկան և կաքայլեքս թվերը

Աշխատանքում ապացուցվում է, որ ռ-չափանի էլիպսական տարածության կողմնորոշված էլիպսական տորոշված ուղիղների, ռ-չափանի հիպերրոլական տարածության կողմնորոշված էլիպսական և հիպերրոլական տարածության կողմնորոշված էլիպսական հերկեր և ռ-չափանի քվարելիպսական տարածության կողմնորոշված էլիպսական և էվկլիդ-յան ուղիղների բաղմաձևությանը փոխմիարժեք պատկերվում է համապատասխանարար ռ-չափանի կոմպլեքս ոչ էվկլիդյան տարածության (առաջին երկու դեպքում), ռ-չափանի կրկնակի և դուալ հիտլերրոլական տարածության, ռ-չափանի կոմպլեքս բվարիէվկլիդյան տարածության, ռ-չափանի կոմպլեքս բվարիէվկլիդյան տարածության, ռ-չափանի կոմպլելս բացարձակի վրա։

Այս արդյունքի մասնավոր դեպքը՝ երը n=2 հավասաբագոր է ոչ էվկլիդյան էիկլիդյան և քվազիէլիպսական հարթությունների րազմաձևության կոմպլեքս, կրկնակի և դուսլ փոփոխականների միջոցով արդեն հայտնի մեկնարանությունը։

ЛИТЕРАТУРА — ԳՐԱԿԱՆՈՒԹՅՈՒՆ

¹ И. М. Яглом, Проективные мероопределения на плоскости и комплексные числа. Труды семинара по векторному и тензорному апализу при МГУ, вып. 7, 1947, стр. 276—318. ² Б. А. Розенфельд. Неевклидовы геометрии, М., 1955. ³ Б. А. Розенфельд, Квазиэллиптические пространства. Труды Московского математического общества, т. 8, 1959, стр. 49—70.

IVXXX

MATEMATUKA

С. Ц. Саркисян

Свойства решений систем Коши-Римана с нелинейными правыми частями

(Представлено академиком АН Армянской ССР М. М. Джрбашяном 17/XII 1962)

Разнообразные задачи математики и механики приводят к изучению свойств решений систем дифференциальных уравнений с частными производными первого порядка более общих, чем система Коши-Римана.

Один из важных классов таких систем составляют системы вида

$$\frac{\partial u}{\partial x} - \frac{\partial v}{\partial y} = f_1(x, y, u, v), \quad \frac{\partial u}{\partial y} - \frac{\partial v}{\partial x} = f_2(x, y, u, v), \quad (1)$$

или в векторном обозначении

$$\frac{\partial w}{\partial z} = f(z, w), \tag{1}$$

где

$$z = x + iy$$
, $w = u + iv$, $\frac{\partial}{\partial \bar{z}} = \frac{1}{2} \left(\frac{\partial}{\partial x} + i \frac{\partial}{\partial y} \right)$ is $f = f_1 + if_2$

известные функции.

Однако, в то время как системы вида (2) с линейными правыми частями

$$\frac{\partial w}{\partial z} = Aw + Bw \tag{2}$$

(где A, B — известные функции от z) весьма хорошо изучены и в работах И. Н. Векуа, Л. Берса и др. развига весьма полная их теория, системы вида (1) с нелинейными правыми частями еще не изучены.

В настоящей работе для некоторых простейших случаев нелинейных систем вида (1) устанавливается ряд свойств решений, аналогичных свойствам решений систем вида (2), а также указываются примеры явлений, связанных с нелинейностью.

1. Здесь мы рассмотрим системы вида

$$\frac{\partial w}{\partial z} = Aw^2 + Bww + Cw^2, \tag{3}$$

где коэффициенты A, B, C — функции переменной z, заданные в некоторой области G и принадлежащие к $L_p(G)$ p>2.

Будем говорить, что w(z) является обобщенным решением системы (3) в окрестности точки z_0 , если в некоторой окрестности G_0 этой точки w обладает обобщенными производными в смысле C_0 болева (1), которые суммируемы со степенью p>1 и удовлетворяют системе (3) почти везде в G_0 . Если w удовлетворяет системе (3) в окрестности каждой точки области G, исключая, быть может, точек некоторого дискретного относительно G множества G_w , то будем говорить, что w является обобщенным решением системы (3) в области G. Множество G_w , которое содержит лишь изолировалные точки, вообще говоря, зависит от выбора w. Если G_w — пустое множество, то обобщенное решение w будем называть регулярным решением системы (3) в области G. Но так как из суммируемости обобщенных производных следует непрерывность функции в G (1), то регулярное в области G решение непрерывно в G и удовлетворяет системе (3) почти везде в G.

Для решений систем (3), регулярных в G, имеет место.

Теорема 1 (аналог теоремы Карлемана). Если для регулярного решения w(z) системы (3) существует точка $z_0 \in G$, являющаяся предельной точкой для нулей w'(z), то $w(z) \equiv 0$ в G.

Эта теорема доказывается немного измененным методом Карлемана.

 2° . Приведем теперь одно интегральное представление регулярных решений системы (3) в G.

Лемма 1. Пусть w — регулярное в G решение системы (3) и пусть

$$A_0\left(z\right) = \left\{ \begin{array}{l} A\left(z\right) + B\left(z\right) \frac{\overline{w}}{w} + C\left(z\right) \frac{\overline{w}^2}{w^2}, & \text{если } w\left(z\right) \neq 0 \quad z \in G, \\ A\left(z\right) + B\left(z\right) + C\left(z\right), & \text{если } w\left(z\right) = 0 \quad z \in G. \end{array} \right.$$

В гаком случае функция

$$\varphi(z) = \frac{1}{w(z)} + \omega(z)$$
, где $\omega(z) = -\frac{1}{\pi} \int_{a}^{b} \int_{a}^{b} \frac{A_0(t) d\sigma}{t - z}$, (4)

является мероморфной в области G. Из леммы 1 сразу следует Теорема 2. Всякое регулярное в G решение системы (3)

представимо в виде

$$w(z) = \frac{1}{\varphi(z) - \omega(z)}, \qquad (5)$$

где $\varphi(z)$ — мероморфная в G функция, $a \omega(z)$ — функция вида (4) и, обратно, всякая функция вида (6), где $\varphi(z)$ — мероморфная в G, $a \omega(z)$ имеет вид (5), является регулярным решением системы (3).

В частности, если $B \equiv C \equiv 0$, то формула (5) принимает следующий вид

$$w'(z) = \frac{1}{\varphi(z) + \frac{1}{\pi} \iint \frac{A(t) ds}{t - z}}$$
(6)

Обобщенное решение системы (3) в области G является регулярным решением в $G - G_w$, где G_w дискретное относительно G множество. Следовательно, обобщенное решение системы (3) в области G имеет вид (5), где функция $\varphi(z)$ в точках G_w имеет любые изолированные особенности.

Точка z_0 расширенной плоскости z = x + iy, в окрестности $0 < |z - z_0| < r$ которой обобщенное решение системы (3) w(z) непрерывно, называется устранимой особой точкой, если $\lim_{z \to z_0} w(z)$ существует и конечен, полюсом, если $\lim_{z \to z_0} w(z)$ существует и равен бесконечности, существенно особой точкой, если $\lim_{z \to z_0} w(z)$ не существует.

 3° . Здесь мы приведем некоторые свойства решений систем (3). Теорема 3 (аналог теоремы Сохоцкого). Если z_0 — существенно особая точка обобщенного решения w(z) системы (3) в G, то для любого комплексного числа A существует последовательность точек $z_k \to z_0$, такая, что $\lim w(z) = A$.

Теорема 4 (аналог теоремы Лиувилля). Если w регулярное в открытой плоскости Е решение системы (3) и $\left| \frac{1}{w} \right|$ ограничено на всей (открытой) плоскости, то w (z) имеет вид

$$w(z) = \frac{1}{C - \omega(z)},\tag{7}$$

 $rde\ C = const,\ or(z) - функция (4)$

Функции вида (7) можно назвать обобщенными постоянными. В отличие от линейных систем, решения систем (3) могут равномерно стремиться к бесконечности при приближении к границе области. Это показывает следующий пример. Рассмотрим систему

$$\frac{\partial w}{\partial z} = -w^2. \tag{8}$$

Ясно, что $w = \frac{z}{zz-1}$ является регулярным решением системы (8) в единичном круге, но тем не менее w(z) стремится равномерно к бесконечности при z, стремящемся к единичной окружности.

4°. Здесь рассматривается система вида

$$\frac{\partial w}{\partial z} = a_0(z) V w, \tag{9}$$

где $a_0(z)$ — заданная функция переменной z в некоторой области G принадлежащая к $L_p(G)$, p>2.

Регулярные и обобщенные решения системы (9) определяются так же, как и для системы (3), но для простоты мы здесь ограничимся рассмотрением лишь тех решений этой системы, которые в окрестности G_0 точки $z_0 \in G$ представляют собой квадрат непрерывных в G_0 однозначных функций. Под V мы будем понимать именьо такую функцию. Приведем теперь одно представление обобщенных решений системы (9).

Лемма 2. Пусть w — обобщенное решение системы (9) с коэффициентом $a_0 \in L_p(G)$ в области G. В таком случае функция

$$z(z) = 1 \overline{z}(z) - \omega(z), \tag{10}$$

где

$$\omega(z) = -\frac{1}{2\pi} \int_{G} \int_{G} \frac{a_0(t)}{t - z} d\sigma,$$
 (10)

является однозначной аналитической в области G всюду, за возможным исключением множества G_w особых точек w^* .

Теорема 5. Всякое обобщенное решение системы (9) в области имеет вид

$$w(z) = [\varphi(z) + \omega(z)]^2, \tag{11}$$

где $\varphi(z)$ — аналитическая всюду в G, кроме, может быть, изолированных особенностей, функция, а $\omega(z)$ — функция вида (10') в G и обратно, всякая функция вида (11), где $\varphi(z)$ — аналитическая (с изолированными особенностями) функция, а $\omega(z)$ — функция вида (10') в G, является обобщенным решением системы (9).

4°. Следующий пример показывает, что теорема Карлемана для регулярных решений систем вида (9) неверна. В самом деле, рассмотрим систему

$$\frac{\partial w}{\partial z} = -2Vw. \tag{12}$$

Ясно, что функция $w(z) = (z-z)^2$ является регулярным решением системы (12) в области G, содержащей некоторый отрезок оси Oу, но тем не менее нули w(z) заполняют этот отрезок.

Имеют место следующие теоремы.

Теорема 6. Если $a_0(z)$ — голоморфная функция в G, w(z) является регулярным решением системы (9) и нули $\frac{\partial V}{\partial z}$ имеют в

G предельную точку, то $w(z) \equiv 0$ **.

Если w(z) — регулярное решение, то $\varphi(z)$ — голоморфная функция в области G.

 $[\]frac{\partial V}{\partial z}$ на $\frac{\partial w}{\partial z}$ так как $\frac{\partial w}{\partial z}$ может обращаться в нуль на кривых. Это видно из примера решения $w=(z+z)^2$ системы (9) при $a_0(z)=2$

Теорема 7. Если $a_0(z)$ — аналитическая функция двух действительных переменных x и y (x+iy=z) s G, w (z) — регулярое решение системы (9) s этой области и w (z) = 0 на множестве, имеющем внутреннюю точку, то w (z) $\equiv 0$ s G.

Для произвольных непрерывных функций в области G теоремы 6 и 7 неверны. В самом деле, пусть $a_0(z)=0$ в G_0 , $u\neq 0$ в G G_0 и непрерывная в G функция. Из (11) ясно, что регулярное решение $\frac{\partial w}{\partial z}=a_0(z)$ w в G равно нулю в G_0 и не равно нулю в G_0 .

Следуя М. Б. Балку (3), введем теперь понятие точек сгущения порядка n для произвольного множества E' точек.

Пусть E' — произвольное множество точек, ξ — какая-либо точка (не обязательно из E'), l — луч arg $(z-\xi)=\alpha$, исходящий из ξ . Множество E' назовем сгущающимся к точке ξ вдоль луча l, если в E' тодержится такая последовательность точек $|z_n|$, что $\lim_{n\to\infty} z_n=\xi$ и $\lim_{n\to\infty} a(z_n-\xi)=\alpha$. Пусть теперь a — произвольная прямая, проходящая через точку ξ . Множество E' назовем сгущающимся к точке ξ вдоль прямой a, если оно сгущается к ξ хотя бы вдоль одного из лучей, на которые разбивается прямая a точкой ξ .

Точку з назовем точкой сгущения порядка n для множества E', если E' сгущается к точке з не менее, чем вдоль n различных прямых.

Теорема 8. Пусть $a_0(z)$ — голоморфная функция в области G и пусть w(z)— регулярное решение системы (9) в той же области G. Если w(z)— обращается в нуль на множестве $F' \subset G$, имеющем в G точку сгущения порядка 2, то $w(z) \equiv 0$ в G.

5°. Если изолированные особенности решения системы (9) классифицировать так же, как для решений систем (3), то оказывается, что имеет место теорема, аналогичная теореме Сохоцкого.

Обобщается также несколько классических теорем.

Теорема 9 (принцип максимума). Если $a_0(z) \in L_{p,-2}(G)$, p > 2 и w(z) – регулярное решение системы (9), непрерывное в G, то

$$w(z) | M - \max | w(t) |^2, z \in G - 1,$$
 (13)

 $roe\ \Gamma$ — граница области $G,\ M$ положительная постоянная, которая зависит исключительно от a_0 и p.

Теорема 10 (аналог теоремы Лиувилля). Если a_0 $L_{p,2}(E)$ и регулярное во всей (открытой) плоскости решение w(z) системы (9) ограничено*, то w(z) имеет вид

$$w(z) = [c + w(z)]^2,$$
 (14)

гое с постоянная величина.

^{*} В отличие от линейных систем регулярное решение может быть и обращается $\frac{B}{B}$ в некоторой фиксированной точке z_0 плоскости.

Функции вида $[c+\omega(z)]^2$ мы назовем обобщенными постоянными (при $a_0(z)\equiv 0$ правая часть (14), очевидно, равпа постоянной). Введем также понятие обобщенного полинома и обобщенной рациональной функции. Функцию вида (11) мы будем называть обобщенной рациональной функцией, если $\int \overline{w}(z)$ имеет конечное число полюсов на расширенной плоскости. В таком случае в формуле (11) функция $\varphi(z)$ есть рациональная функция, полюсы которой совпадают с полюсами соответствующей обобщенной рациональной функции. Если обобщенное решение системы (9) имеет единственный полюс $z=\infty$, то его будем называть обобщенным полиномом. В таком случае порядок полюса будем называть степенью обобщенного полинома. Обобщенные полиномы нулевой степени будут обобщенными постоянными.

Теорему 10 можно обобщить следующим образом.

Теорема 11. Если w(z) — регулярное решение системы (9) с коэффициентом $a_0(z) \subset L_{p,2}(E)$ в E и $Vw = O(|z|^n)$ вблизи точки $z = \infty$, где n — целое неотрицательное число, то w(z) есть обобщенный полином n.

Настоящая работа выполнена под руководством Б. В. Шабата, которому автор приносит глубокую благодарность.

Институт математики и механики Академии паук Армянской ССР

Ս. Ծ. ՍԱՐԳՍՅԱՆ

Ոչ գծային աջ մասեւով Կոշի-Ռիմանի սիսթեմների լուծումների մի շաբ հաչկություններ

Դիտարկվում է հետևյալ տիպի սիստեմները

$$\frac{\partial w}{\partial \bar{z}} = Aw^2 + Bww + Cw^2,$$

$$\frac{\partial w}{\partial \bar{z}} = aVw,$$

որտեղ A, B, C, a— ֆունկցիաներ են z փոփոխականից կոմույական G-տիրույթնում։ Գտնված են մի չարթ կլասիկ Թեորեմների (Սոխոցկու, Լիուժիլլի և այլն) անարդները այդ սիստեմների լուծումների դասում։

ЛИТЕРАТУРА — ЧРИЧИБИРИЗИРЬ

С. Л. Соболев, Некоторые применения функционального анализа в мачематической физике, ЛГУ, 1950. ² Н. А. Векуа, Обобщенные аналитические функции М., 1950. ³ М. Б. Балк, К теории полианалитических функций, Тезизы докладов Пятов всесоюзной конференции по теории функций, Ереван, 1960.

XXXXI

MATEMATUKA

А. В. Петросян

Некоторые вопросы помехоустойчивости функций алгебры логики

(Представлено академиком АН Армянской ССР С. Н. Мергеляном 18 XII 1962)

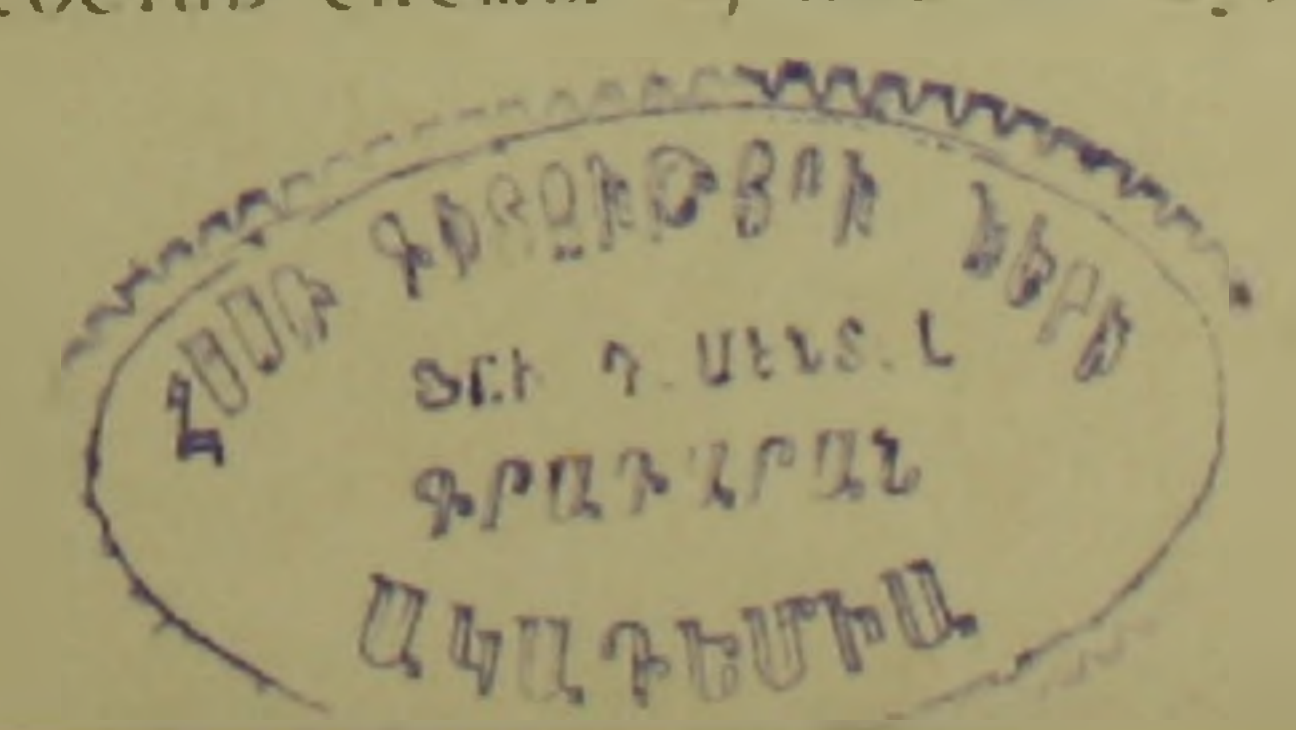
Вопросы передачи и переработки информации приобретают все большее значение для всех областей современной науки и техники. Понятие "информация" математически уточняется в работе К. Шеннона (1). Эта же работа явилась основой создания теории передачи информации при палични помех. В работе Хемминга (2) показано, что передаваемую информацию можно кодировать так, чтобы помехи, возникающие при передачи, почти не влияли на результат передачи. Теоретическая возможность этого была доказана и в работе (1).

Однако до выхода работы Неймана (3) не рассматривались вопросы переработки информации с точки зрения ее помехоустойчивости. В работах (3) и (4) доказано, что для любой переработки информации можно создать устройства, перерабатывающие информацию при паличин помех, сколь угодно надежно.

Так как переработку информации можно описать функциями алгебры логики, то в наслоящей работе рассматриваются вопросы переработки информации функциями алгебры логики с точки зрения их помехоустойчивости. Далее будет показано, что с любой функцией алгебры логики связана некоторая непрерывная функция, характеризующая помехоустойчивость данной функции, что помехоустойчивость всех функций алгебры логики (без избытка) имеет один и тот же порядок малости, что помехоустойчивость функции можно Увеличить голько введением избыточности.

В конце работы доказывается, что для любой функции алгебры логики можно строить другую функцию алгебры логики с избытком, перерабатывающую информацию так же, как и дапная функция, но обладающую помехоустойчивостью более высокого порядка.

Предположим, что задана некоторая функция алгебры логики $f(x_1,$ x_2, \dots, x_n), и предположим, что схема S_n которая имеет n входных каналов и один выходной канал, реализует данную функцию $f(x_1, x_2, ..., x_n)$ Внутренняя структура и состав схемы Ѕ, нас не будут интересовать.



Числом ε (0 $< \varepsilon < \frac{1}{2}$) в дальнейшем будет обозначаться вероятность ошибки самой схемы S_f . Аналогично работе (3), обозначим верхние грани вероятностей того, что входные линии передают ложные импульсы, соответственно через $\eta_1, \eta_2, \dots, \eta_n$ (0 $< \eta_i <$ 1). В дальнейшем, иногда, вместо n-разрядного двоичного набора ($\alpha_1, \alpha_2, \dots, \alpha_n$) будем употреблять число i, равное двоичному числу с теми же разрядами, т. е. $i = \alpha_1 + \alpha_2 2 + \dots + \alpha_n 2^{n-1}$, и вместо того, чтобы писать $f(\alpha_1, \alpha_2, \dots, \alpha_n)$, просто напишем f(i). Предположим, что вероятность появления

набора i на входе схемы S_i равна $p_i \left(p_i > 0, \sum_{i=1}^{2^n-1} p_i = 1 \right)$. При таких

обозначениях верхняя граница вероятности ложного импульса на выходе схемы S_{ℓ} будет:

$$\eta_{1}(\varepsilon) = \varepsilon + (1 - 2\varepsilon) \left[\sum_{\substack{\text{OD BCEM } \mu \text{ H } \\ f(\mu) = 1, f(\nu) = 0}} \left(p_{\mu} \eta_{1}^{\alpha \mu, \nu} \eta_{2}^{\alpha \mu, \nu} \cdots \eta_{n}^{\alpha \mu, \nu} + p_{\nu} \eta_{1}^{\alpha \mu, \nu} \eta_{2}^{\alpha \mu, \nu} \cdots \eta_{n}^{\alpha \mu, \nu} \right) \right] + p_{\nu} \eta_{1}^{\alpha \nu, \mu} \eta_{2}^{\alpha \nu, \mu} \cdots \eta_{n}^{\alpha \nu, \mu} \right) \right],$$
(1)

где $\alpha_{i,j}^s$ есть сумма по модулю 2 s-тых разрядов наборов i и j, а

$$\eta_s = \int \eta_s \, \text{если } \alpha = 1$$
 $11 - \eta_s \, \text{если } \alpha = 0.$

Если ввести более наглядное обозначение $P(f=\alpha \to f=\beta)$, которое является вероятностью того, что значение функции равно α , но после искажения входных величин значение функции превращается в β , то для γ (ϵ) получим такую формулу

$$\tau_1(z) = z + (1 - 2z) [P(f = 1 \rightarrow f = 0) + P(f = 0 \rightarrow f = 1)],$$
 (2)

или то же самое

$$\eta(\varepsilon) = \varepsilon + (1 - 2\varepsilon) \eta(0).$$

Доказательства формул (1) и (2) не приводятся ввиду их громозкости.

Функция $\tau_i(\epsilon)$ показывает, насколько ненадежна схема S_i при наличии помех на входах и в самой работе схемы S_i . В случае, когда схема работает абсолютно надежно, т. е. $\epsilon = 0$, функция $\tau_i(\epsilon)$ показывает, как сильно зависит значение данной функции f от ее аргументов. Иначе говоря, $\tau_i(0)$ характеризует помехоустойчивость данной функции алгебры логики при данном распределении значений ее аргументов, независимо от осуществляемой ее схемы.

Определение 1. $\gamma_I(0)$ назовем функцией помехоустойчивости функции $f(x_1, x_2, ..., x_n)$ с заданным распределением $p_0, p_1, ..., p_{2^n-1}$

Из формулы (1) видно, что $\eta_I(0)$ является суммой слагаемых вида

$$p_{m} \tau_{i_{m_{1}}} \tau_{i_{m_{2}}} \cdots \tau_{i_{m_{N}}} (1 - \tau_{i_{m_{N+1}}}) \cdots (1 - \tau_{i_{m_{n}}}),$$

причем при $p_i = 0$ и малых $\eta_i \left(\eta_i \ll \frac{1}{n} \right)$ главным членом этого выражения является $p_m \, \eta_{m_1} \, \eta_m \, \cdots \, \eta_m$. Число s назовем порядком данного слагаемого, если $p_i \neq 0$, в противном случае порядок данного слагаемого примем равным $+\infty$.

Определение 2. Минимальный порядок слагаемых в выражении $\tau_{ij}(0)$ назовем порядком помехоустойчивости функции $f(x_1, x_2, ..., x_n)$, с заданным распределением $p_0, p_1, ..., p_{0n-1}$

Определение 3. n-разрядный двоичный набор 3 назовем активным набором по i-ому аргументу для функции $f(x_1, x_2, ..., x_n)$, если при инвертировании i-той позиции в наборе 3 получается такой набор γ , для которого $f(\gamma) = f(\beta)$.

Обозначим все активные наборы по t-тому аргументу для функции $f(x_1, x_2, ..., x_n)$ через α_{ii} , α_{ii} , α_{ii} , α_{ii}

Определение 4. Активностью i-того аргумента функции $j(x_1, x_2, ..., x_n)$ с данным распределением вероятностей $p_0, p_1, ..., p_{2^n-1}$ назовем число $\omega_i = p_{a_{i1}} - p_{a_{i2}} + \cdots + p_{a_{ik}}$.

В случае, когда $p_i = \text{const}$, получим:

$$w_i = \frac{1}{2''} \sum_{\text{по всем 3}} \{f(3) \oplus f(7)\} \text{ (где 7 отличается от 3 i -той позицией)*.$$

Ясно, что ω_i может равияться нулю либо тогда, когда i-тый аргумент функции не имеет активных наборов, т. е. i-тый аргумент фиктивен, либо если вероятности, соответствующие активным наборам, равны нулю. Чем больше активность данного аргумента, тем больше его влияние на изменение значения функции. Отсюда ясно, что помехоустойчивость функции существенно должна зависеть от активностей ее аргументов. Следующая теорема уточняет эту связь.

Теорема 1. Линейная часть функции $\tau_{ij}(0)$ имеет вид $\sum_{i=1}^{n} w_i \tau_i$.

Доказательство. Из формулы (1) видно, что линейные члены получаются из таких и и и, которые отличаются друг от друга только одним разрядом, т. е. только по активным по какому-либо аргументу наборам.

Если α_{ij} есть J-тый активный набор по t-тому аргументу, то в сумму (1) входит слагаемое вида

$$p_{\alpha_{ij}}(1-\eta_1)\cdots(1-\eta_{i-1})\eta_i(1-\eta_{i+1})\cdots(1-\eta_n).$$

^{*} В этом частном случае понятие активности совпадает с понятнем, введенным Ш. Е. Бозояном.

Сумма членов соответствующих всем активным наборам по *i*-тому аргументу равна:

$$(p_{\tau_{l1}} + p_{\tau_{l2}} + p_{\tau_{l3}} + \dots + p_{\tau_{lk_l}}) \{ (1 - \eta_1) \cdots (1 - \eta_{l-1}) \, \eta_l (1 - \eta_{l+1}) \cdots (1 - \eta_n) \}.$$

$$\cdots (1 - \eta_n) \}.$$

Отсюда следует, что коэффициент при η есть ω_i . Ясно, что другие слагаемые не могут содрежать η линейно. Проводя те же рассуждения для всех аргументов, получим утверждение теоремы.

Определение 5. Функцию $f(x, x_0, \dots, x_n)$ с распределением $p_0, p_1, \dots, p_{2^n-1}$ назовем функцией без избытка, если $p_i = 0$ ($i = 0, 1, \dots, 2^n - 1$).

Теорема 2. Если функция $f(x_1, x_2, ..., x_n)$ без избытка и не постоянна, то ее порядок помехоустойчивости равен единице.

Доказательство. Так как функция не постоянна, то для нее существует по крайней мере один аргумент, имеющий активные наборы, и так как функция без избытка, то существует хотя бы один аргумент, для которого $\omega_i \neq 0$. Вследствие этого из теоремы 1 непосредственно следует теорема 2.

Следствие. Для того чтобы порядок помехоустойчивости функции $f(x_1, x_2, ..., x_n)$ был отличным от единицы, необходимо и достаточно, чтобы $p_i = 0$ для всех i активных хотя бы по одному аргументу.

Если сбозначить через d(i, j) расстояние между наборами i + j (°), то можно доказать следующие теоремы.

Теорема 3. Если порядок помехоустойчивости функции $f(x_1, x_2, ..., x_n)$ больше r, то для любых i и j, для которых $p_i \neq 0$, $p_j = 0$ и $f(i) \neq f(j)$ имеет место соотношение $d(i, j) \gg 2r + 1$.

Доказательство. Если форядок помехоустойчивости функции больше r, то все члены в формуле (1) до r-того порядка включительно равны нулю. Отсюда следует, что для любого i, для которого $p_i \neq 0$, и для всех α , для которых $d(i, \alpha) < r$, имеет место равенство $f(i) = f(\alpha)$. То же самое имеет место для j. Отсюда следует, что d(i, j) > 2r + 1, чем и завершается доказательство теоремы.

Теорема 4. Если функция задана только на наборах α , θ^{AS} которых $\alpha_s \neq 0$, причем так, что удовлетворяются условия me^{α_s} ремы 3, то можно эту функцию доопределить так, чтобы e^{α_s} порядок помехоустойчивости был больше r.

Доказательство. Из формулы (1) видно, что функцию надодоопределить таким образом, чтобы ближайший нуль функции находился от единицы (для которого $p_x \neq 0$) не ближе чем на расстояние r, и наоборот. Но это можно сделать, так как расстояние между заданными единицами и нулями функции, по условию теоремы, больше 2r. Теорема 5. Для любой функции $f(x_1, x_2, ..., x_n)$ с заданным распределением $p_6, p_1, ..., p_{2^n-1}$ и любого целого числа k > 0 можно построить такую функцию $\varphi(y_1, y_2, ..., y_m)$ с поряоком помехо-у, тойчивости не менее k так, чтобы при соответствующим образом подстановке $x_1, x_2, ..., x_n$ на место аргументов $y_1, y_2, ..., y_m$ по-мучить $\varphi'(x_{l_1}, x_{l_2}, ..., x_{l_m}) \equiv f(x_1, x_2, ..., x_n)$.

Доказательство. Предположим, что функция $f(x_1, x_2, ..., x_n)$ вадана таблично. Эту таблицу расширим повторением, некоторые из столбцов для аргументов до тех пор, пока нули и единицы данной ункции будут находиться на расстоянии не менее чем 2k+1. После этого будут выполняться условия теоремы 4. Но тогда мы из теоремы 4 получим доказательство теоремы 5.

Греванский государственный университет.

և Վ. ՊԵՏՐՈՍՅԱՆ

Դունկցիաների կայունության ուղջ հարցեւ

շոդվածում ցույց է արվում, որ արամարանական մանրամաշվի յուրաբանչյուր առնկցիայի հետ կապված է մի անընդմատ ֆունկցիա, որը ընորոշում է վերքինիս կաթունությունը խանգարումնների նկատմամբ։ Այնումեան ցույց է տրված, որ տրամարահամանցուն մաջնելու օգնությամբ, որ ցանկացած ֆունկցիայի համար կարելի է կաուցել մի նոր ֆունկցիա, որը խանդարումների նկատմամբ օժտված լինի ցանկացած չահավ բարձր կայունությամբ և կատարի նույն դերը, ինչ որ տրված ֆունկցիան։

ЛИТЕРАТУРА — ԳРИЧИТОПЬ ВЗЯВТ

К. Шеннон, Статистическая теория передачи электрических сигналов, Теория передачи электрических сигналов при наличии помех, ИЛ, М., 1953. ² Р. Хемина. Сб., Коды с обнаружением и исправлением ошибок. ИЛ, М., 1956. Дж. Нейман, Вероятностная логика, Сб. статей, Автоматы, ИЛ, М., 1955. ¹ Э. Ф. Мур и К. Эменнон, Надежные схемы из ненадежных реле, Кибернетический сборник, 1, ИЛ, М., 1960.



VYXYV

1963

3

МЕХАНИКА

М. А. Задоян

Ползучесть при кручении круглого конического стержня, материал которого обладает свойством нестационарной неоднородности

(Представлено академиком АН Армянской ССР Н. X. Арутюняном 18/X! 1962)

Вопросы установившейся ползучести при кручении круглых стержней и переменного диаметра, в том числе конических стержней и оболочек, в случае однородных материалов исследованы в монографии Л. М. Качанова (1) и в работе Н. Х. Арутюняна и М. М. Манукяна (2).

Ниже рассматривается задача неустановившейся ползучести при кручении круглого конического стержня, материал которого обладает переменными во времени и по координатам механическими свойствами. Такая неоднородность может возникать, например, при воздействии на материал облучения нестационарным потоком нейтронов, гамма-лучей и т. д.

Принимая сферическую систему координат $r^{\dagger \varphi}$ (фиг. 1), введем предположение, что механические свойства материала конуса менянотся по θ и t.

Положим, как в обычной теории кручения круглых стержней переменного диаметра, что

$$\sigma_r = \sigma_0 = \sigma_z = \tau_{rz} = 0,$$

а компоненты - и - не зависят от э и суть функции от г. у, т.

Исходя из теории ползучести наследственного типа, соотношения между интенсивностью касательных напряжений и интенсивностью деформаций сдвигов для рассматриваемого случая неоднородности возьмем в виде

$$\Phi(0, t) z_i^m(r, 0, t) = z_i(r, 0, t) + \int_0^t z_i(r, 0, \tau) N(0, t, \tau) d\tau, \qquad (1)$$

где

$$N(\theta, t, \tau) = \Omega(\theta, t) K(t, \tau)$$

$$z_i = \sqrt{\tau_{r\varphi}^2 + \tau_{\theta}^2}, \quad m = \text{const.}$$

Функции $\Phi(\theta, t)$ и $\Omega(\theta, t)$ учитывают характер неравномерного протекания ползучести в стержие и определяются из экспериментов.

Связь между компонентами напряжений и деформаций сдвигов имеет вид

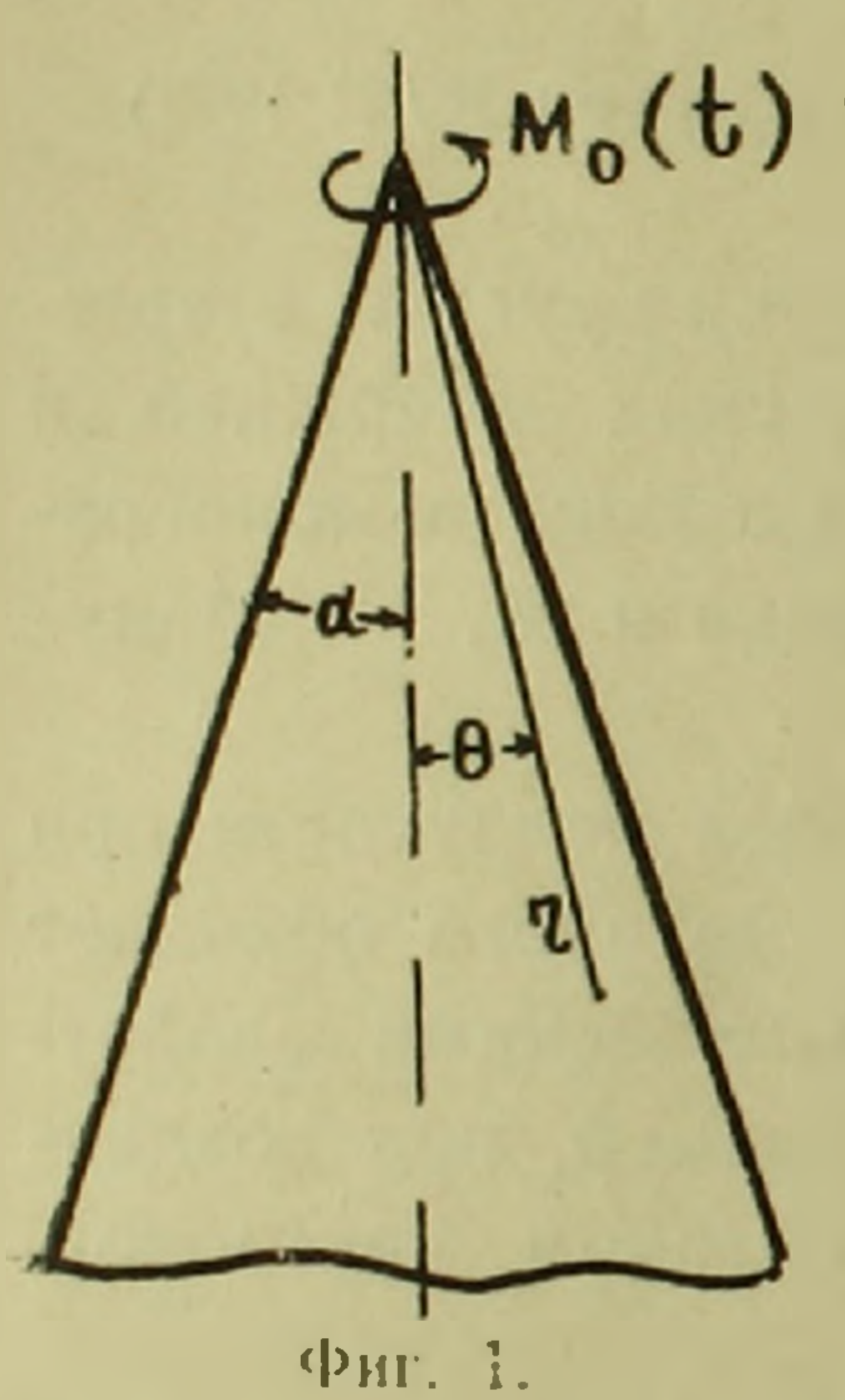
$$\gamma_{r=} = \frac{\varepsilon_l}{\sigma_l} \tau_{r\varphi}, \qquad \gamma_{0\varphi} = \frac{\varepsilon_l}{\sigma_i} \tau_{0\varphi}.$$
 (2)

Следуя В. В. Соколовскому (³), как в задаче пластического кручения конического стержия, принимаем

$$\tau_{re} = \tau_{re}(r, \theta, t), \quad \tau_{\theta e} = 0.$$
(3)

Тогда из соотношений

$$2\gamma_{r\varphi} = \frac{\partial U_{\varphi}}{\partial r} - \frac{U_{\varphi}}{r}, \qquad 2\gamma_{\theta\varphi} = \frac{1}{r} \frac{\partial U_{\varphi}}{\partial \theta} - \frac{U_{\varphi}}{r} \operatorname{ctg} \theta = 0 \tag{4}$$



(t) следует дифференциальное уравнение совместности

$$\frac{\partial \gamma_{re}}{\partial \theta} = \gamma_{re} \operatorname{ctg} \theta. \tag{5}$$

Из дифференциального уравнения для нашей задачи

$$\frac{\partial \tau_{re}}{\partial r} + \frac{3}{r} \tau_{re} = 0 \tag{6}$$

имеем

$$\tau_{r\varphi} = \frac{1}{r^3} \chi(0, t),$$
 (7)

где $\chi(0,t)$ — некоторая неизвестная функция от 0 и t. Учитывая, что $\tau_0=0$, $\tau_0=0$, из (1) и (7) получим

$$\gamma_{r\varphi} = r^{-\frac{3}{m}} \left\{ \frac{\chi(\theta, t)}{\Phi(\theta, t)} + \int_{0}^{t} \chi(\theta, \tau) \frac{N(\theta, t, \tau)}{\Phi(\theta, t)} d\tau \right\}^{\frac{1}{m}}.$$
 (8)

Подставляя т, в дифференциальное уравнение совместности (5), получим

$$\frac{d}{d\theta} \left\{ \frac{\chi(\theta, t)}{\Phi(\theta, t)} + \int_{0}^{t} \chi(\theta, \tau) \frac{N(\theta, t, \tau)}{\Phi(\theta, t)} d\tau \right\}^{\frac{1}{m}} =$$

$$= \left\{ \frac{\chi\left(\theta, t\right)}{\Phi\left(\theta, t\right)} + \int_{0}^{t} \chi\left(\theta, \tau\right) \frac{N\left(\theta, t, \tau\right)}{\Phi\left(\theta, t\right)} d\tau \right\}^{\frac{1}{m}} \operatorname{ctg} \theta. \tag{9}$$

Отсюда

$$\chi(b, t) + \int_{0}^{t} \chi(b, \tau) N(b, t, \tau) d\tau = C^{m}(t) \Phi(b, t) \sin^{m} b, \tag{10}$$

 $_{1e} C(t)$ — произвольная функция от t.

H₃ (8) и (10) имеем

$$\frac{C(t)\sin b}{3} \tag{11}$$

Условие равенства главного момента усилий, действующих в про- $\mu_{\rm BOЛЬ}$ ном сечении $r={\rm cosnt}$, заданному значению крутящего момента $\mu_{\rm b}(t)$ в вершине стержня дает

$$\int_{0}^{2} \chi(\theta, t) \sin^{2}\theta d\theta = \frac{M_{0}(t)}{2\pi}.$$
 (12)

Умножая обе части равенства (10) на $\frac{\sin^2 \theta}{2(0, t)}$ и интегрируя по θ

и имили до од получим

$$C^{m}(t) = \frac{1}{2\pi J_{0}(t)} \int_{0}^{t} M_{0}(z) K(t, z) dz + \frac{1}{J_{0}(t)} \int_{0}^{z} \frac{\chi(\xi, t) \sin^{2} \xi d\xi}{2(\xi, t)}, \quad (13)$$

1t

$$J_0(t) = \int_0^t \frac{\Phi(\theta, t)}{\Omega(\theta, t)} (\sin \theta)^{2-m} d\theta.$$
 (14)

Подставляя значение C'''(t) из (13) в соотношение (10) и испольуя при этом равенство (12), получим уравнение (4.5)

$$\chi(0, t) + \int_{0}^{t} N(0, t, \tau) \chi(0, \tau) d\tau = F(0, t) + \int_{0}^{t} M(\xi, \theta, t) \chi(\xi, \tau) d\xi, \quad (15)$$

де

$$F(\theta, t) = \frac{\Phi(\theta, t) \sin^{m\theta}}{2\pi J_0(t)} \left[M_0(t) + \int_0^{\tau} M_0(\tau) K(t, \tau) d\tau \right].$$

$$M(\xi, \theta, t) = \frac{\Phi(\theta, t) \sin^m \theta \sin^2 \xi}{J_0(t)} \left[\frac{1}{\Omega(\xi, t)} - 1 \right]. \tag{16}$$

Из (10) и (12) при t=0 следует, что

$$\chi(\theta,0) = \frac{M_0(0)}{2\pi J(0)} \Phi(\theta,0) \sin^m \theta, \tag{17}$$

$$J(t) = \int_{0}^{a} \Phi(\theta) (\sin \theta)^{2+m} d\theta. \tag{18}$$

Применив метод последовательных приближений, как в (4-5), _{наи-} дем точное решение полученного интегрального уравнения

$$\gamma_{c}(\theta, t) = F(\theta, t) + \sum_{k=1}^{\infty} (M - N)^{k} F(\theta, t), \tag{19}$$

где M и N соответственно интегральные операторы Фредгольма вольтерра

$$MQ = \int_{0}^{t} M\left(\xi, \theta, t\right) Q\left(\xi, t\right) d\xi, \qquad NQ = \int_{0}^{t} N\left(\theta, t, \tau\right) Q\left(\theta, \tau\right) d\tau. \tag{20}$$

Институт математики и механики Академии наук Армянской ССР

ሆ. ሀ. ԶԱԴՈՅԱՆ

Ոլուման ժամանակ կոնական ձողի սողքը, ուի նյութը օժոված է չկայունացված անհամասեռությամբ

Հիժնվելով լարուժների և դեֆորմացիաների սասակությունների միջև սողջի ժառանդականության տիպի կապտկցությունից (1), ուսուժնասիրվում է կոնական անձամասի ձողի սողջը՝ ոլորման ժամանակ։ (1) կապակցության մեջ Ф(0, t) և Չ(0, t) ֆունկցիաները ընորոշում են նյութի անձամասեսությունը և ընվունվում են, որ փորձից հայտնիհն

Հետևելով Վ. Կ. Սոկոլովսկուն՝ (¹), ինչպես կոնի պլաստիկական ոլորման խնդր ժամանակ, ընդունննք զրոյից տարբեր միայն շ_{եշ} բաղադրիչը։ Այդ դեպքում հավաստրակչսության չավաստրումներից ոտացվում է

$$\tau_{r\varphi} = \frac{\chi(0, t)}{r^3}$$

որտեղ լ (0, t) որոշելի ֆունսկցիա է 0-ից և t-ից կախված։ Օգավելով (5) համատեղության պայմանից և (1) առնչությունից. լ (0, t)-ի համար ստանում ենւք (10) Վոլտերի տիպի ինտեղքալ հավատարումը, որտեղ բացի լ (0, t)-ից պարունակում է C (t) անհայտ ֆունեցիան։ հիրասելով (12) պայմանը, C (t)-արտահայտում ենքը լ (0, t)-ի միջոցով։ Տեղադրելով C (t)-ի արժեքը (10) հավասարման մեծ ստանում ենքը (15), կրկնակի կորիզով հավասարումը։ Այդ հավասարման լուծումը, ինչպես մեր նախորդ հոդվածներում (4,5) տրվում է հաջորդական մոտեցման եղանակով։

$$\chi(\theta, t) = F(\theta, t) + \sum_{k=1}^{\infty} (M - N)^k F(\theta, t)$$

Այստեղ Ե(Ս, ք) աղատ անդամո է, M և N համապատասխանարաթ Ֆրեղքոլմի և Վոլահ օահոտաորներն են (20)։

Ան ամասես ձողի սլորման ժամանակ փոփոխման է ենթիարկվում ոչ միայն դեֆու մացիան ինչպես համասեսի դեպրում այլն լարումը։

ЛИТЕРАТУРА — ЧРИЛЬИБЛЬВ ЗПЬБ

Л. М. Качанов, Теория ползучести, Физматгиз. М., 1960. ² Н. Х. Арутюни М. М. Манукян, Известия АН АрмССР (серия физ.-мат. наук), т. ХІV, № 4 (1961) В. В. Соколовский, Теория пластичности, ГИТТЛ, М.-Л., 1980. ¹ М. А. Задоян Известия АН СССР, (ОТН), Механика и машиностроение, № 4, 1961. ¹ М. А. Задоян Известия АН АрмССР (серия физ.-мат. наук), т. ХІV, № 4 (1961).

ФИЗИКА

М. Р. Магомедов

Функция Грина для волнового уравнения в случае двух диспергирующих сред

(Представлено академиком АН Армянской ССР Л. И. Алиханяном 4 XI 1962)

В предыдущей работе (1) были получены асимптотические выражения для вектор-потенциала поля движущейся заряженной частицы при наличии двух диспергирующих сред. В настоящей статье дается прогий вывод точных решений волнового уравнения для вектор-потенциала поля в случае двух диспергирующих сред.

Для решения поставленной задачи вспомним, что решение уравшения для Фурье-компоненты вектор-потенциала, удовлетворяющее пулевым граничным условиям на бесконечности, записывается в виде:

$$\vec{A}_{\omega} = \frac{1}{C} \int \vec{j}_{\omega} (\vec{r}') G_{\mu}(r|\vec{r}') d\vec{r}', \qquad (1)$$

де G (rr) — функция Грина. В случае одной бесконечной среды ее можно выбрать в виде расходящейся сферической волны (что соотрегствует выбору запаздывающего потенциала (°):

$$g_k(R) = \frac{e^{ikR}}{R}$$
, где $k^2 = \frac{\omega^2}{c^2} \varepsilon(\omega)$, $R = |\vec{r} - \vec{r}'|$. (2)

Обратимся теперь к построению функции Грина в случае двух сред. Первую среду будем характеризовать диэлектрической пронимаемостью $\varepsilon_1(\omega)$, а вторую $\varepsilon_2(\omega)$.

Выберем систему координат так, чтобы илоскость ху совпадала сграницей раздела сред, а ось z была направлена из первой среды во вторую.

Для построения $G_k(r)r'$ рассмотрим отдельно два случая.

а) Источник находится в первой среде, т. е. z' < 0. Если бы первая среда занимала все пространство, то функция Грина определялась формулой (2) с $z = z_1(\omega)$. Однако в рассматриваемом случае она занимает только полупространство z < 0. Поэтому выражение (2) с $z = z_1(\omega)$ пеобходимо умножить на функцию $\vartheta(-z)$, которая равна единице при z < 0 и нулю при z > 0, и учесть еще наличие границы раздела сред. Для этого добавим к $g_k(R)\vartheta(-z)$ решение однородного гравнения, не имеющее особенностей в области z < 0. В качестве решения возьмем выражение

$$\theta(-z) \alpha \frac{e^{ik_1R_1}}{R_1},$$

$$k_1^2 = \frac{\omega^2}{c^2} \uparrow z_1(\omega), \qquad R_1 = [(x - x')^2 - (y - y')^2 + (z + z')^2],$$
(3)

произвольный коэффициент.

Ясно, что этот член не имеет особенностей при z < 0, z' < 0 поэтому является решением однородного уравнения. Сумма вышеука занных двух членов дает поле в полупространстве z < 0. Очевидно однако, что в полупространстве z > 0 тоже должно существовать не которое поле, так как в противном случае мы не сможем удовлетворить граничным условиям.

Это поле мы запишем в виде:

$$\vartheta(z) \vartheta' e^{ik_2R} / R.$$
 (4)

Как видно из этого выражения, оно не имеет особенностей при с од Поэтому поле единичного источника в рассматриваемом случае можно записать в виде:

$$0 (-z) e^{ik_1 R} |R + z i| (-z) e^{ik_1 R_1} |R_1 + 0 (z) | 3' e^{ik_2 R} |R.$$
 (5)

б) Псточник находится во второй среде, т. е z' > 0. В этом случае мы поступаем совершенно так же, как и в первом случае. В результате получается выражение, отличающееся от (5) только заменой

$$=$$
 $1 (-z) \rightarrow 1 (z)$.

Для определения коэффициентов (5) воспользуемся интегральных представлением сферических воли (см. формулы 17, § 18 (3)

$$e^{ikR}/R = \frac{i}{2\pi} \int e^{i\vec{x}\cdot\vec{q} + i\vec{k}/z - z'} \frac{d\vec{x}}{i}$$
, (6)

где z, q— компоненты k и r-r' в плоскости xy. Применяя эту формулу ко всем членам в выражении (5) и к аналогичному выражению при. z' > 0 и, для простоты, сохраняя обозначения коэффициентов*, запишем поле при z' < 0 в виде:

$$\frac{i}{2\pi} \left\{ \vartheta \left(-z \right) \int e^{i\vec{z}\cdot\vec{q} + ih_1|z-z'|} \frac{d\vec{x}}{\lambda_1} + \vartheta \left(-z \right) \int \alpha e^{i\vec{z}\cdot\vec{q} - ih_1(z+z')} \frac{d\vec{x}}{\lambda_1} + \vartheta \left(z \right) \int \vec{\beta}' e^{i\vec{z}\cdot\vec{q} + ih_2(z-z')} \frac{d\vec{x}}{\lambda_2} \right\}, \tag{7}$$

а при z'> 0 в виде

$$\frac{i}{2\pi} \left\{ \vartheta \left(z \right) \int e^{iz \cdot q + i\lambda_2 (z - z')} \frac{dz}{\lambda_2} + \vartheta \left(z \right) \int \widetilde{\alpha} e^{iz \cdot \overline{q} + i\lambda_2 (z + z')} \frac{dz}{\lambda_2} + \vartheta \left(-z \right) \int \widetilde{\beta}' e^{iz \cdot \overline{q} - i\lambda_1 (z - z')} \frac{dz}{\lambda_1} \right\}.$$

$$+ \vartheta \left(-z \right) \int \widetilde{\beta}' e^{iz \cdot \overline{q} - i\lambda_1 (z - z')} \frac{dz}{\lambda_1} \right\}. \tag{8}$$

^{*} При таком переходе вторые и третьи члены в ниженаписанных формулах перестают удовлетворять однородному уравнению для функции Грина.

На самого построения этих выражений видно, что они в отдельности должны удовлетворять граничным условиям и что полная функция грина равна их сумме.

При определении коэффициентов в (7) и (8) мы ограничиваемся рассмотрением случая, когда плотность тока имеет только компоненту, нормальную к границе раздела сред. Тогда вектор-потенциал будет иметь только компоненту A_z , через которую тангенциальные компоненты полей выражаются в цилиндрических координатах следующим образом:

$$\vec{H}_{\alpha\beta} = -\frac{\partial A_{\alpha\beta}}{\partial \varphi} \vec{e}_{z}, \quad \vec{E}_{\alpha\beta} = -\frac{c}{i\omega z} \frac{\partial^{2} A_{\alpha\beta}}{\partial \varphi \partial z} \vec{e}_{z}, \quad (9)$$

где e_{φ} и e_{φ} — единичные векторы вдоль направлений φ и φ . Непрерывность тангенциальной составляющей магнитного поля, согласно первому из двух уравнений (9) и формуле (1), эквивалентна непрерывности функции Грина при z=0, т. е.

$$G_k(z<0)|_{z=0} = G_k(z>0)|_{z=0},$$
 (10a)

а непрерывность тангенциальной составляющей электрического поля, согласно второму из уравнений (9) и формуле (1), эквивалентна вывыполнению равенства

$$\frac{1}{\varepsilon_1} \frac{\partial}{\partial z} G_z \left(z < 0 \right) |_{z=0} = \frac{1}{\varepsilon_2} \frac{\partial}{\partial z} G_k \left(z > 0 \right) |_{z=0}. \tag{106}$$

При этом принято во внимание, что $\frac{\partial A}{\partial z}$ — A с точностью до коэффициента, не зависящего от свойств среды. Условия, аналогичные (10), должны выполняться и при z'>0. Используя эти граничные условия, получим следующие выражения для коэффициентов в (7) и (8):

$$\alpha = \frac{\varepsilon_2 \lambda_1 - \varepsilon_1 \lambda_2}{\varepsilon_2 \lambda_1 + \varepsilon_1 \lambda_2}, \quad \widetilde{\beta}' = \widetilde{\beta} e^{i\lambda_1 z' - i\lambda_1 z'}, \quad \widetilde{\beta} = \frac{2\varepsilon_2 \lambda_2}{\varepsilon_1 \lambda_2 + \varepsilon_2 \lambda_1}. \quad (11)$$

Коэффициенты α и β , где $\beta'=\beta e^{i k_z z'-i k_z z'}$, получаются из α и β взаимной перестановкой индексов 1 и 2.

Подставляя найденные значения коэффициентов в (7) и (8) и группируя члены с одинаковыми ∂(2) функциями, получим функцию Грина:

$$G_{k}(\vec{r}/\vec{r}) = \frac{i}{2\pi} \left\{ \vartheta \left(-z' \right) \int e^{i \left(\vec{x} \cdot \vec{q} + \lambda_{1} \mid z - z' \mid \right)} \frac{d\vec{x}}{\lambda_{1}} + \vartheta \left(-z' \right) \int \alpha e^{i \left(\vec{x} \cdot \vec{q} - \lambda_{1} \left(z + z' \right) \right)} \frac{d\vec{x}}{\lambda_{1}} + \vartheta \left(z' \right) \int \beta e^{i \left(\vec{x} \cdot \vec{q} - \lambda_{1} z + \lambda_{2} z' \right)} \frac{d\vec{x}}{\lambda_{1}} \right\}, \ z < 0 \quad (12)$$

$$G_{k}(\vec{r}/\vec{r}') = \frac{i}{2\pi} \left\{ \vartheta \left(z' \right) \int e^{i \left(\vec{x} \cdot \vec{q} + \lambda_{2} \mid z - z' \mid \right)} \frac{d\vec{x}}{\lambda_{2}} + \frac{d\vec{x}}{\lambda_{2}} \right\}$$

$$+\vartheta(z')\int_{\alpha}^{\infty}e^{i(x+\lambda_{2}(z+z'))}\frac{dx}{\lambda_{2}}+\vartheta(-z')\int_{\beta}^{\infty}e^{i(x+\lambda_{2}z-\lambda_{1}z')}\frac{dx}{\lambda_{2}}.z>0 (13)$$

В этих выражениях удобно перепти к угловым переменным. В выражении (12) положим

$$k_1 = k_1 \sin \theta \cos \varphi, \qquad k_2 = k_1 \sin \theta \sin \varphi, \qquad k_3 = k_1 \cos \theta. \tag{14}$$

После этого его можно привести к виду:

$$G_{R}(r|r') = \theta(-z')g_{R_{1}}(R) + \theta(-z')J_{\alpha} + \theta(z')J_{\beta}, \quad z < 0,$$
 (15)

где

$$g_{k_1}(R) = e^{ik_1R}/R$$

$$J_{2} = \frac{ik_{1}}{2} \int H_{0}^{(1)}(u_{1}) e^{-tk_{1}(2+z^{t})\cos\theta} \, \sigma(\theta) \sin\theta d\theta, \tag{16}$$

$$J_{\beta} = \frac{ik_1}{2} \int H_0^{(1)}(u_1) e^{-ih_1 z \cos \theta + ih_2 z'} \beta(\theta) \sin \theta d\theta,$$

$$\alpha = \frac{\lambda_1 \varepsilon_2 - \lambda_2 \varepsilon_1}{\lambda_1 \varepsilon_2 + \lambda_2 \varepsilon_1}, \quad \beta = \frac{2\varepsilon_1 \lambda_1}{\varepsilon_1 \lambda_2 + \varepsilon_2 \lambda_4}, \quad \lambda_{1,2} = + \sqrt{\frac{\omega^2}{c^2}} \varepsilon_{1,2} - \kappa_2. \quad (17)$$

$$u_1 = q k_1 \sin \theta, \quad \kappa = k_1 \sin \theta.$$

 $H_0^{(1)}(u)$ — функция Ханкеля первого рода. Под контуром Т понимается контур, изображенный на фиг. 1.

В выражении (13) положим

$$k_{v} = k_{u} \sin \theta \cos \varphi, \qquad k_{v} = k_{u} \sin \theta \sin \varphi, \qquad r_{u} = k_{u} \cos \theta \qquad (18)$$

и приведем его к виду:

$$G_{k}(r/r) = \vartheta(z') g_{k_{2}}(R) + \vartheta(z') J_{\frac{-}{2}} + \vartheta(-z') J_{\frac{-}{3}}, \quad z > 0$$

$$g_{k_{2}}(R) = e^{lk_{2}R}/R,$$
(19)

$$J_{\frac{-}{2}} = \frac{ik_2}{2} \int H_0^{(1)}(u_2) e^{ik_2(z+z')\cos\theta} \tilde{\alpha}(\theta) \sin\theta d\theta,$$

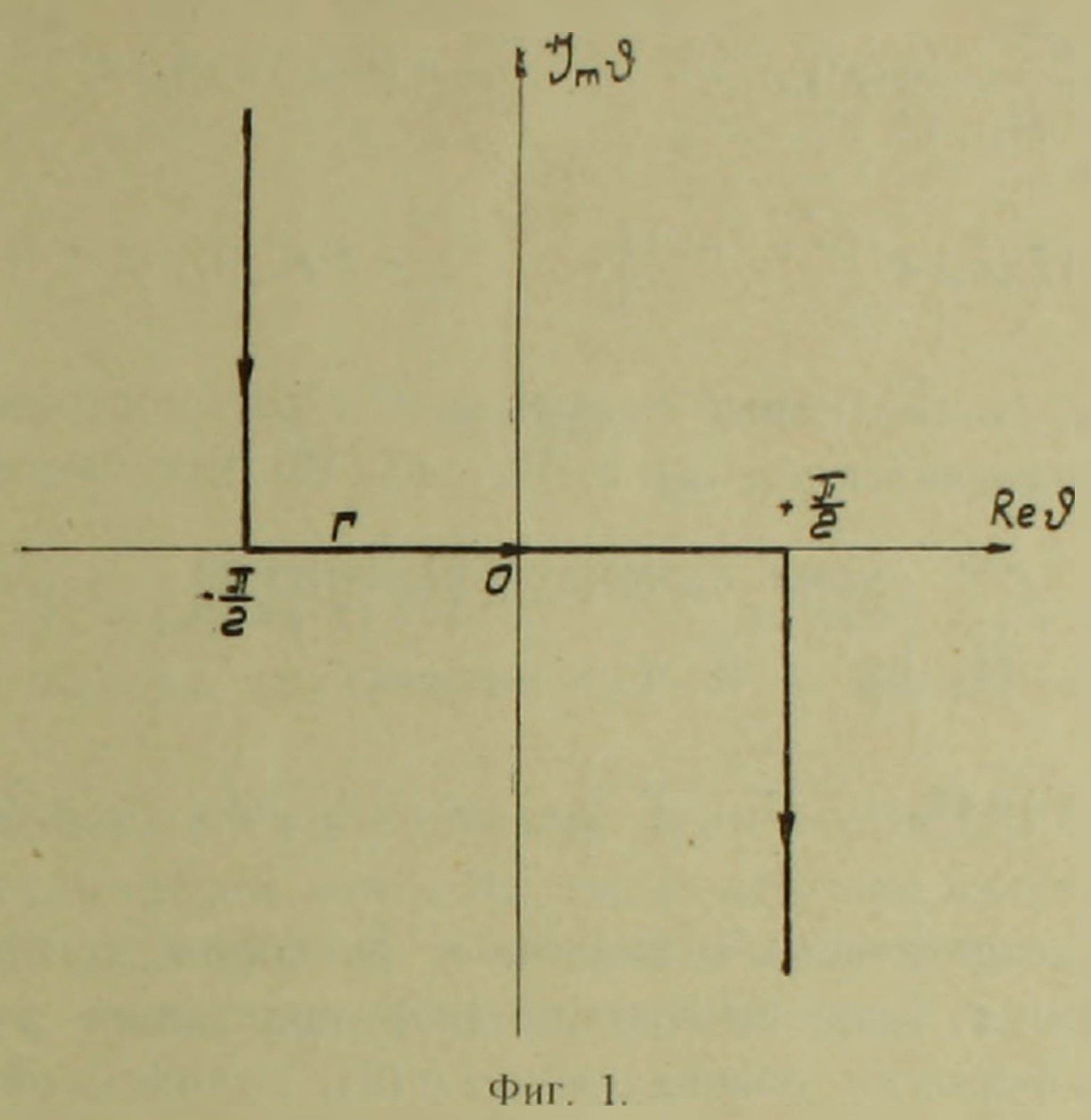
$$J_{7} = \frac{ik_{2}}{2} \int_{\mathbb{R}^{2}} H_{0}^{(1)}(u_{2}) e^{ik_{2}z\cos\theta - ik_{2}z'} \tilde{\beta}(\theta) \sin\theta d\theta,$$

$$\bar{\alpha} = \frac{\lambda_2 \varepsilon_1 - \lambda_1 \varepsilon_2}{\lambda_2 \varepsilon_1 + \lambda_1 \varepsilon_2}, \quad \bar{\beta} = \frac{2\varepsilon_2 \lambda_2}{\varepsilon_1 \lambda_2 + \varepsilon_2 \lambda_1}.$$

$$u_2 = q k_2 \sin \theta, \quad z = k_2 \sin \theta.$$
(21)

Выражения (15) и (19) полностью определяют функцию Грина да волнового уравнения для случая, когда плотность тока имеет только компоненту, нормальную к границе раздела сред.

Для получения вектор-потенциала достаточно подставить эту функцию Грина в формулу (1). Например, для заряда, движущегося по оси z со скоростью V(t), будем иметь:



$$A_{int} = \frac{e}{2\pi c} \int V(t) \{ \vartheta(-z') g_{k_1}(R) + \vartheta(-z') J_z + \vartheta(z') J_z \} e^{i\omega t} dt, \quad (22)$$

$$z < 0, \quad z' = z(t)$$

и аналогичное выражение при z>0.

Что касается скалярного потенциала, то при необходимости его можно получить из условия Лоренца:

$$\varphi_{\omega} = \frac{c}{i\omega \epsilon} - \operatorname{div} A_{\omega}. \tag{23}$$

Формулы (15) и (16) являются точными. Однако во многих случаях полезны также их асимптотические оценки. Для получения посчедних воспользуемся асимптотическим представлением функций Ханкеля:

$$H_0^{(1)}(u) \simeq \sqrt{\frac{1}{\pi u}} e^{iu - i\frac{\pi}{4}}, \quad u \gg 1.$$

Кроме этого, предположим, что выполняется условие $d \ll R_0 \cos \vartheta_0, \qquad d = \max \varrho', \tag{24}$

 $R_0 = (\rho^2 + z^2)^{1/2}$, $\rho = R_0 \sin \vartheta_0$, $z = \pm R_0 \cos \vartheta_0$ (в зависимости от того, в какой среде определяется поле). После этого применим ко всем членам в выражениях (15) и (19) метод перевала.

Интегралы типа *J* подробно исследованы в (³). В первом приближении вместо (15) получаем:

$$G_{k}(\overrightarrow{r}/\overrightarrow{r}) = \frac{e^{ik_{1}R_{0}}}{R_{0}} \left\{ \vartheta(z') e^{-i(\overrightarrow{x} \cdot \overrightarrow{\rho}' - \lambda_{1}z')} + \vartheta(-z') \alpha(\vartheta_{0}) e^{-i(\overrightarrow{x} \cdot \overrightarrow{\rho}' + \lambda_{1}z')} + \vartheta(z') \beta(\vartheta_{0}) e^{-i(\overrightarrow{x} \cdot \overrightarrow{\rho} - \lambda_{2}z')} \right\}, \quad z - z' < 0, \quad z < 0.$$

$$(25)$$

Здесь θ_0 — угол, составляемый направлением распространения волны с отрицательным направлением оси z. Вместо (19) получается выражение:

$$G_{k}(\vec{r}/\vec{r}) = \frac{e^{ik_{2}R}}{R} \left\{ \vartheta(z') e^{-i(\vec{x}\cdot\vec{p}'+\lambda_{1}z')} + \vartheta(z') \tilde{\alpha}(\vartheta_{0}) e^{-i(\vec{x}\cdot\vec{p}'-\lambda_{2}z')} + \vartheta(z') \tilde{\beta}(\vartheta_{0}) e^{-i(\vec{x}\cdot\vec{p}'+\lambda_{1}z')} \right\}, \quad z-z' > 0, \quad z > 0,$$

$$(26)$$

где θ_0 — угол, составляемый волновым вектором с положительным направлением оси z. Если выражение (25) подставить в формулу (1), то мы получим формулу, совпадающую с (3), полученной в работе (1).

Условие применимости этих выражений, вытекающее из использования асимптотики функций Ханкеля, метода перевала и условия (24) заключается в выполнении неравенства:

$$R_0 \gg \frac{1}{z \sin \theta_0} + \frac{d}{\sin \theta_0}, \tag{27}$$

где и равно $k_1\sin\vartheta$, при z<0 и $k_2\sin\vartheta_{\theta}$ при z>0.

Автор выражает свою глубокую признательность Г. М. Гарибяну за постоянное внимание к работе и обсуждение результатов.

Физический институт ГКАЭ

Ե**ւկու դիսպեւսող միջավայ**բեւում ալիքային հավասաբման Գւինի ֆունկցիան

Գրինի ֆուսկցիայի միջոցով ստացված են անհամասեռ ալիքային հավասարումների լուծումը էլեկտրամադնիսակաս դաշտի վեկտորական և սկալյար պոտենցիալների համան երկու կիստանվերն ցիէլեկտրիկներից րազկացած միջավայրում։

Հանդամանորեն դիտարկված է դիէլեկարիկների բաժանման սահմանին հոսանքների ուղղաչայացության դեպքը։ Բերված է նաև յուծումների ասիմպտոտիկ ձևը։

ЛИТЕРАТУРА — ԳՐԱԿԱՆՈՒԹՅՈՒՆ

Г М. Гарибян, М. Р. Магомедов, ДАН АрмССР., т. XXXVI, № 2 (1963). ² Ф. М. Морс, Г. Фашбах, Методы теоретической физики, т. I, ИИЛ М, 1958. ³ Л. М. Береховских, Волны в слоистых средах, Академиздат, 1957.

ФИЗИКА:

Ян Ши

О спектре спиновых волн

(Представлено чл.-корр. АН Армянской ССР Н. М. Кочаряном 26 XI 1962)

Энергетический спектр спиновых волн исследовался многими авторами как классическим методом, так и методом квантовой механики (1,2). При этом исследовался в основном спектр вблизи магнитного насыщения, что имеет место лишь для длинных волн и при низких температурах.

В настоящей работе с помощью метода двухвременных функши Грина (3) мы получим формулу для энергетического спектра шиновых волн с учетом геометрии кристаллической решетки, пригодную в широком интервале температур.

1. Пусть гамильтониан спиновой системы ферромагнетика состоит из членов зеемановской, обменной и дипольной энергий:

$$H = -\mu H \sum_{s} s_{j}^{z} - \frac{1}{2} \sum_{f \neq g} J_{fg} s_{f} s_{g} + \frac{1}{2} \sum_{f \neq g} D_{fg} \left[s_{f} s_{g} - 3 \left(e_{fg} s_{f} x e_{fg} s_{g} \right) \right], \tag{1}$$

иле μ — магнетон Бора; H — статистическое внешнее поле; s_j — спиновый оператор электрона в узле f; J_{fg} — обменный интеграл;

 $e = \frac{(f-g)}{|f-g|}; \ D_{fg}$ — коэффициент дипольного взаимодействия:

$$D_{fg} = \frac{\mu^2}{|f - g|^3}.$$
 (2)

Переходя от спиновых операторов к операторам Паули b_i , b_j имеем

$$H = -N\mu H + \frac{1}{2} (\bar{A} + \bar{B}) + 2 \sum_{f,g} \{F_{fg}b_g + \kappa, c.\} + \sum_{f,g} \{A_{fg}b_fb_g + 2C_{fg}b_fb_g + (\mu H - \bar{A} - \bar{B})n_f + \kappa, c.\} - 4 \sum_{f,g} \{F_{fg}b_fn_g + \kappa, c.\} + 2 \sum_{f,g} (A_{fg} + B_{fg})n_fn_g,$$
(3)

$$A_{fg} = -J_{fg} + \frac{1}{2} D_{fg} [3 (e_{fg}^z)^2 - 1],$$

$$B_{fg} = -\frac{3}{2} D_{fg} [3 (e_{fg}^z)^2 - 1],$$

$$C_{fg} = -\frac{3}{4} D_{fg} (e_{fg}^x - i e_{fg}^y)^2,$$

$$F_{fg} = -\frac{3}{2} D_{fg} e_{fg}^z (e_{fg}^x - i e_{fg}^y),$$

$$\bar{A} = \sum_{f, g} A_{fg}, \quad \bar{B} = \sum_{f, g} B_{fg}.$$

N—число узлов в решетке. Вводя функцию Грина

$$G_{fg}^{(1)} \equiv \ll |b_f| \stackrel{+}{b_g} \gg, \qquad G_{fg}^{(2)} \equiv \ll \stackrel{+}{b_f} |\stackrel{+}{b_g} \gg$$

и принимая обычную аппроксимацию

$$\langle\langle n_g b_g | b_h \rangle\rangle \rightarrow \overline{n}_f G_{gh}^{(1)},$$

получаем замкнутую систему уравнений для Фурье-образцов G_k (*), откуда нетрудно найти их полюса, которые определяют энергетический спектр спиновых волн:

$$E_{k} = \left\{ \left[2\mu H - 2\sigma \sum_{x} J_{r} \left(e^{irk} - 1 \right) + \mu^{2}\sigma \sum_{x} r^{-3} \left(3e_{x}^{2} - 1 \right) \left(e^{irk} + 2 \right) \right]^{2} - 9\mu^{4}\sigma^{2} \sum_{x} \left(rr' \right)^{-3} \left(e_{x} - ie_{y} \right)^{2} \left(e_{x}' + ie_{y}' \right)^{2} e^{i(r+r')k} \right\}^{3/2},$$

где r = f - g; $e_x = r_\alpha/r$, r = |r|; суммирование проводится по все узлам решетки $g \neq f$; а $\sigma = 1 - 2n$ — относительный спин систем которой определяется по формуле (3)

$$\frac{1}{\sigma} = \frac{v}{(2\pi)^3} \int \coth \frac{E_k}{\vartheta} dk,$$

где 1 — абсолютная температура, помноженная на постоянную Болы мана.

2. Рассмотрим общую формулу спектра (5) отдельно для двух общестей k-пространства: $k \ll \frac{1}{a}$ и $k \sim \frac{1}{a}$; (a—постоянная решетки). Простом будем предполагать, что рассматриваемое ферромагнитное телимеет форму эллипсоида с осями, параллельными координатным осями.

Случай
$$k \ll \frac{1}{a}$$
.

R этом случае, за исключением области малых, но не нулевых $k(k-\frac{1}{R})$, R — размер эллипсоида), переходя в (5) от суммирования интегрированию, мы получаем

$$E_0 = 2\mu V \left[H + M \left(N_k - N_z \right) \right] \left[H + M \left(N_y - N_z \right) \right], \qquad (7)$$

$$k = 0$$

$$E_{k} = 2\mu \sqrt{\left[H - MN_{z} + \frac{M}{\mu^{2}}\widetilde{J}_{k}\right]\left[H - MN_{2} + \frac{M}{\mu^{2}}\widetilde{J}_{k} + 4\pi M \sin^{2}\theta_{k}, \quad (8)}$$

$$\frac{1}{R} \ll k \ll \frac{1}{a}, \quad (8)$$

где N_{α} фактор размагничивания эллипсоида; M=uzn — средняя на-

$$\widetilde{J}_k = v \sum J_r (1 - e^{irk}) \tag{9}$$

 $(v = \frac{V}{N}); \; \theta_k = \arcsin\left(V \frac{1}{k_x^2 + k_y^2} / k\right) - \text{угол между направлением волвового вектора <math>k$ и направлением статического магнитного поля осью z).

Полученные формулы (7) и (8) соответствуют классическим формулам Киттеля и Херринга— Киттеля. В отличие от известных формулья E_0 и E_1 , полученных в приближении спиновых воли, в формулах (7) и ($\stackrel{>}{\sim}$) M — намагниченность при данной температуре, а не при аблютном нуле. Кроме того, заметим, что в (8) "поле обменных сил" 109 пропорционально M.

Случай
$$k \sim \frac{1}{a}$$
.

В этом случае суммы в (5) нельзя заменить интегралами. Если вести обозначения

$$v\sum_{r=3}^{3} (3e_z^2 - 1) e^{irk} + 8\pi/3 = P_k$$

$$3v\sum_{r=3}^{3} (e_x - ie_y)^2 e^{irk} = Q_k,$$
(10)

0 (5) можно записать в виде

$$E_k = \mu M \sqrt{(2H_i/M + 2J_k(\mu^2 + P_k)^2 - Q_k^2}$$
 (11)

изичения P_k и Q_k нетрудно вычислить для трех типов кубической реметки (4). Результаты расчета даны в табл. 1.

Полученный спектр спиновых волн на всем интервале значений $^{10\text{лнового}}$ вектора от 0 до π/a представлен на фиг. 1. Там же $^{10\text{казаны}}$ кривые, соответствующие формуле Херринга—Киттеля. $^{10\text{казаны}}$ что в области малых k (ka < 1) оба спектра практически $^{10\text{впадают}}$.

Следует отметить, что хотя магнитное диполь-дипольное взак модействие намного слабее по сравнению с обменным взаимодействием, но оно является анизотропным, в то время как обменное взак модействие изогропно. Эго приводит к тому, что спектр спиновы волн становится анизотропным даже без учета магнитокристаллографической анизотропии.

Tаблица 1 Значения членов P_k и Q_k в формуле (11) для трех типов кубической решетки: простая (п.), гранецентрированная (г. ц.) и объемноцентрированиая (о. ц.)

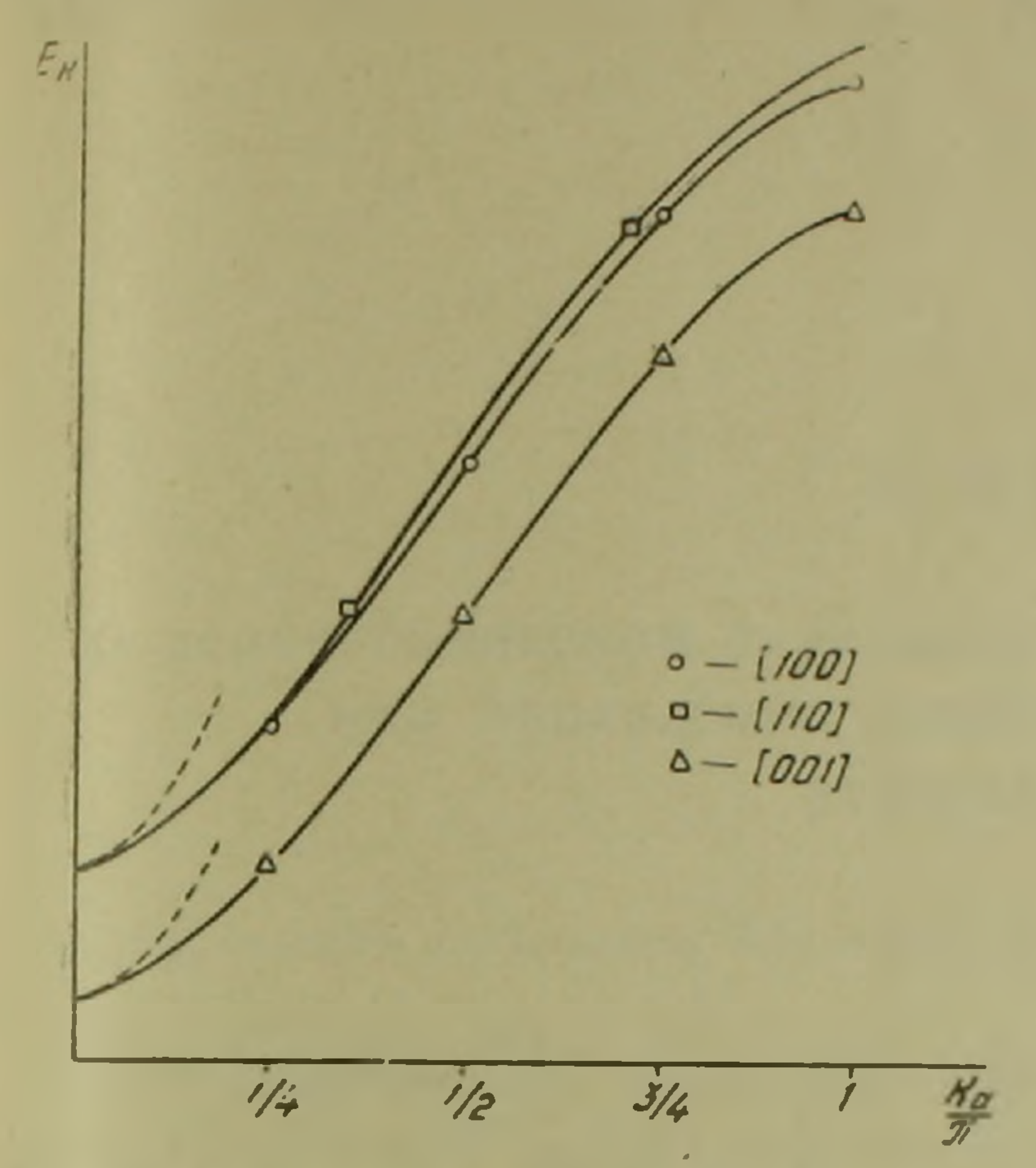
Направление			P_k			Qk	
волнового век- тора k	ka	п.		О. Ц.	н.	Г. Ц.	О. Ц.
	1						
	$\pi/4$	[-0, 20]	0.56	0,92	()	()	0
10011	$\pi/2$	-0,66	1,96	3,76	0	0	()
[601]	$3\pi/4$	-1.13	3,42	6,80	0	0	0
	75	-1,33	4,05	8,38	()	0	()
	1/2 =/4	6,19	6,60	6,39	6,57	5,34	5,80
[101]	12 7.12	5,97	7,71	6,66	7,20	2,01	5,16
	$3\sqrt{2}\pi/4$	5,76	9,51	6,93	7,80	3,40	4,35
	12 =	5,71	9,86	7,04	8,01	5,81	4,01
	7/4	12,65	12,29	12,11	12,84	11,72	11,19
[100]	- /2	12,88	11,59	11,02	13,56	9,63	7,26
	$3\pi/4$	13,12	10,86	9,17	14,25	7,44	2,36
	7.	13,22	10,55	8.38	14,55	6,50	0
	$\sqrt{2\pi/4}$	12,76	11,94	10,19	11,04	11,75	12,29
[110]	$1/2\pi/2$	13,17	9,72	11,82	6,90	8,53	11,61
	$31/2\pi/4$	13,58		11,28			
	127	13,72	4,05	11,06	0-	()	10,62
		4.		1			

В частности, вырождение при $0_k = \text{const}$, имеющее место для малых k, снимается в области больших k. На фиг. 1 показано, когда направлено по [001], для $k \mid [100]$ и $k \mid [110]$ (в обоих случаях $0_k = \sqrt{2}$ мы имеем разные значения E_k в области k = 1/a. Это обстоятельств также хорошо видно из табл. 1. То же самое происходит при APX гих значениях θ_k .

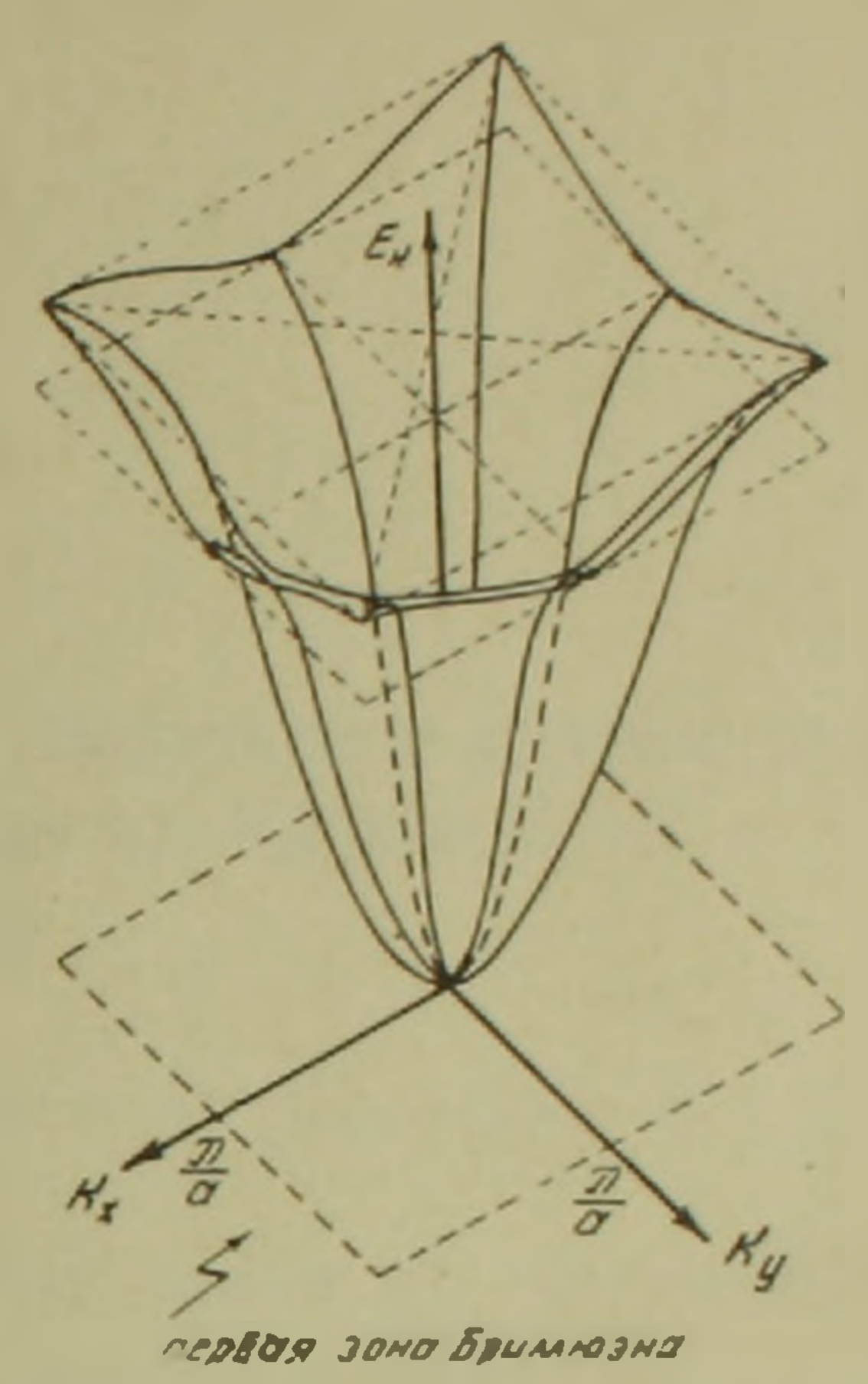
Для того чтобы дать наглядное представление спектра, на филоказано E_k в зависимости от значения и ориентации k, лежащен в плоскости (001). Если в области малых k ($ka \ll 1$) поверхность k обладает цилиндрической симметрией (вырождение при $\theta_k = \pi/2$), по мере возрастания k ($ka \sim 1$) цилиндрическая симметрия нарушается и поверхность становится "волнистой".

Правда, крайне короткие спиновые волны быстро затухают. Не как показывает оценка в работе (5), при низких температурах их с)

исствование вполне реально. Тогда знание их спектра весьма полезно для понимания поведения ферромагнетика в полях очень коротких электромагнитных излучений (инфракрасная область).



Фиг. 1. Зависимость E_k от k для направлений [001] [100] [110] в случае простой кубической решетки. Пунктирная линия-спектр по формуле Херринга—Киттеля.



Фиг. 2. Схематическое изображение поверхности E_k для k, лежащих в плоскости (001) в случае простой кубической решетки.

Автор выражает свою сердечную благодарность чл.-корр. АН Армянской ССР Н. М. Кочаряну и С. В. Тябликову за помощь и постоянный интерес к работе.

Физико-техническая лаборатория Академии наук Армянской ССР

उपर रि

Սպինային ալիքների սպեկորի մասին

Դրինի երկժամանակային ֆունկցիաների մեթոդով ստացված է րանաձև ֆերոմագնետիկում սպինային ալիբների սպեկտրի համար, հաշվի առնելով դիպոլ-դիպոլային փոխաղդեցությունը ալիքային վեկտորի 0-ից մինչև - a բոլոր արժեջների համար, բանաձևը պրտանի է Ջերմաստիձանների լայն տիրույթի համար։

այտնի է առնում թյուրեղային դանցի երկրալավական արրույթում (k - 1/a) մեր բանաձևը արտակի է առնում թյուրեղային դանցի երկրալավական կառույին տիրույթում է 0_k = const

ЛИТЕРАТУРА — ЧРИЧИППЕВ ЗПЕС

Дж. Ван Краненденк и Дж. Ван Флек, Rev. Mod. Phys. **30**. I (1958). ² А И, Ахиезер, В. Г. Барьяхтор, М. И. Качанов, УФН, **71**, 534 (1960). ³ Н. Н. Боголюбов, С. В. Тябликов, ДАН СССР, 126, 53 (1959). ⁴ М. Кохен и Ф. Кэффер, Phys. Rev. 99-1128 (1955). ⁵ Е. Н. Яковлев, ФТТ, 4, 1589 (1962).



ГЕОЛОГИЯ

Ю. А. Лейе

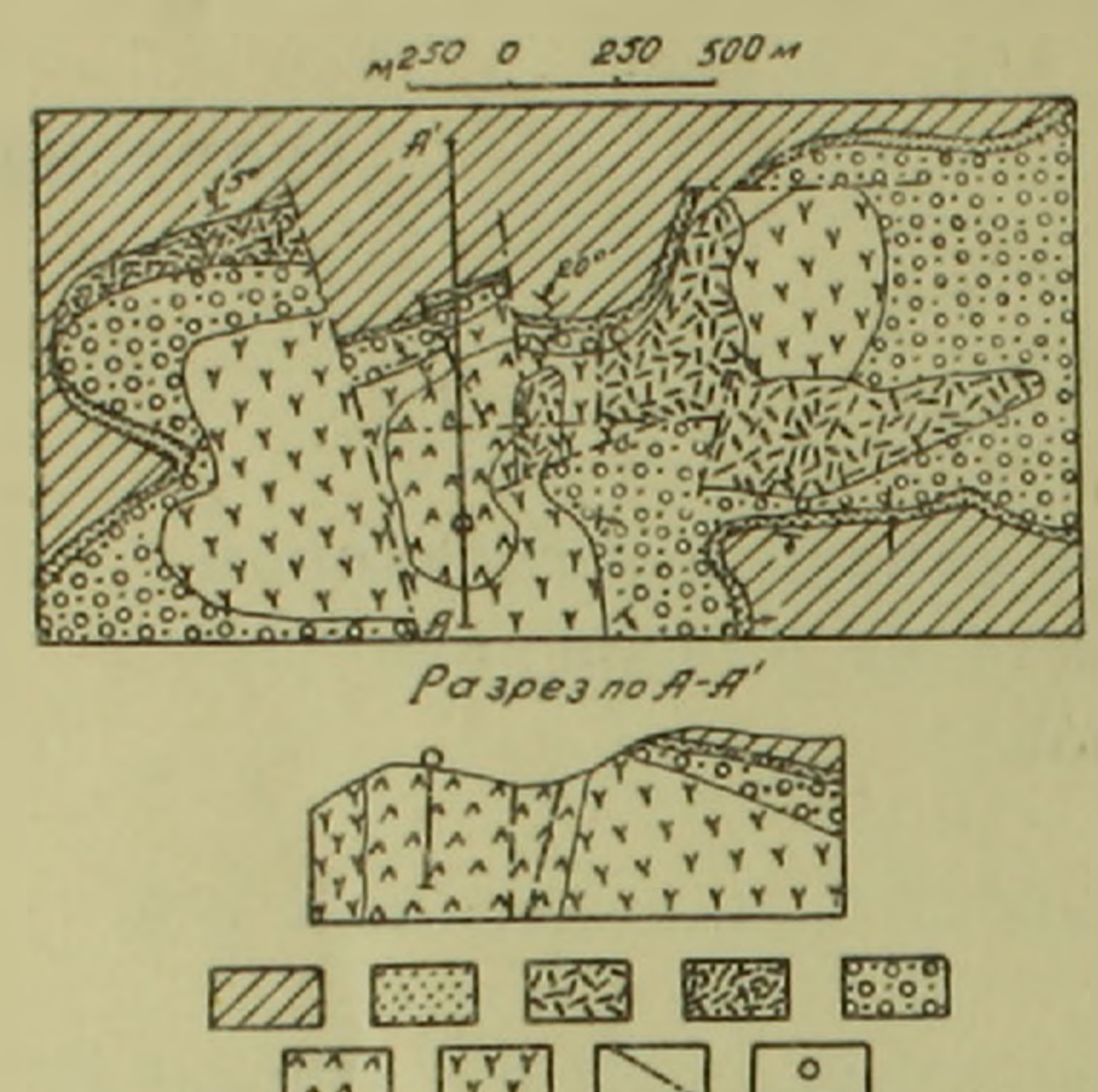
О верхнебайосском вулканическом аппарате и связанном с ним проявлении молибденита из Кафанского рудного поля

(Представлено академиком АН Армянской ССР П. Г. Магакьяном 19, Х 1962)

Связь медно-колчеданного и полиметаллического оруденения Кафанского рудного поля с очагом среднеюрского вулканизма в настоящее время подтверждается многочисленными фактами (размещение промышленных рудных тел в гидротермально измененных пород типа вторичных кварцитов исключительно в пределах нижне-среднеюрскоготектонического яруса; совпадение фаций глубинности оруденения и крайних дифференциатов среднеюрского вулканизма, представленных субвулканическими телами кварцевых порфиров; ясная "структурнолитологическая форма связи" (¹) оруденения и упомянутых кварцевых порфиров, выражающаяся в использовании магмой и рудоносными растворами одних и тех же путей (разрывных нарушений) для своего проникновения; резко различное поведение разрывных рудоконтролирующих структур в нижнем и верхнем тектонических ярусах, позволяющее говорить о том, что формирование этих структур в основном было завершено в доверхнеюрское время; геохимическая близость рудовмещающих среднеюрских пород и руд; наличие четко выраженной гипогенной горизонтальной зональности руд и измененных пород, выражающейся в закономерной смене рудных формации и фаций вторичных кварцитов к востоку от Саяд-Дашского хребта, где наиболее интенсивно проявлены субвулканические тела кварцевых порфиров (2); текстурно-структурные и минералогические особенности руд и др.), однако собственно экструзивные тела кварцевых порфиров, т. е. тела, выполняющие вулканические жерла (), до сих пор для среднеюрского вулканизма Южной Армении не описаны.

В этой связи представляет интерес выход интенсивно измененных кварцевых порфиров, установленный в последние годы в западной части рудного поля (участок Дзорастан). Здесь секущее тело кварцевых порфиров (верхнебайосский возраст которых был доказанранее (4), в огличие от всех других выходов, не контролируется разрывным нарушением, но проявляет явные признаки диапиризма по

отношению к вмещающим породам. В плане это тело имеет неправильно-овальную форму (фиг. 1), длинная ось которого составляет более 500 м, короткая—около 300 м. Контакты описываемого тела с вмещающими породами очень резкие, крутопадающие. В некоторых местах отмечается падение контакта внутрь тела, что в последнее



Фиг. 1. Геологическая карта района верхнебайосского вулканического аппарата. В верхнем ряду (слева направо): туфоконгломераты (I_3^{oxf-km}) , грубозернистые туфопесчаники (I_3^{oxf}) , кварцевые альбигофиры экструзивные, кварцевые альбитофиры эффузивные, туфопесчаники верхней осадочной серии (I_2^{bf}) . В нижнем ряду: кварцевые порфиры, кварц-плагиоклазовые порфириты (I_2^{bf}) , разрывные нарушения, скважина, в скрывшая проявление молибденита.

время подтверждается также данными буровой разведки и позволяет говорить не только о цилиндрической, но и о конической, сужающейся книзу, форме залегания. Признаки диапиризма проявляются в наблюдаемых здесь складчатых и разрывных нарушениях. Описываемое жерло залегает в центре куполовидной складки, несколько вытянутой в широгном направлении и четко фиксирующейся, на фоне моноклинали, по падению вмещающих жерло пород радиально, во все стороны от последнего. Разрывные нарушения, развитые на этой складке, еще больше подчеркивают ее диапировую природу. Это нормальные поперечные и продольные сбросы, судя по крутым углам падения которых можно заключить, что они возникли за счет трещин отрыва. Наибольшим развитием здесь пользуются радиальные сбросы. В западной части (фиг. 1), видимо, от слияния двух радиальных трещин, первоначально расположенных на различ-

ных крыльях поднятия, образовалось сквозное поперечное нарушение. Кроме того, через весь участок, в его центральной части, проходит продольное нарушение, которое обычно приурочивается к сводовым частям поднятий (5). Таким образом, взаимное расположение и характер разрывных нарушений не оставляют сомнения в том, что возникли они на диапировом поднятии, имевшем форму овала.

Породы, слагающие жерло, представлены эруптивными брекчиями кварцевых порфиров, превращенных во вторичные кварциты. Обломки в этих брекчиях резко преобладают над цементом, в результате чего соприкасаются друг с другом. Цементирующий материал представлен теми же кварцитизированными кварцевыми порфирами. В результате интенсивного изменения углы обломков, слагающих брекчии, сглаживаются и приобретают округлую форму, а порода в целом напоминает конгломерат. Микроскопическое изучение многочисленных шлифов подтвердило принадлежность породы к кварцевым

порфирам. В относительно слабо измененных образцах порода обнаруживает порфировую структуру с аллотриоморфнозернистой основной массой, состоящей из кварц-полевошпатового вещества и микролитов плагиоклаза. Во вкрапленниках плагиоклаз (олигоклаз-альбит) в призматических зернах полисинтетически сдвойникованных; калиевый полевой шпат в изометричных, или таблитчатых, зернах, нередко в сростках с кварцем и плагиоклазом; кварц в изометричных, сильно трещиноватых и нередко корродированных зернах.

Полевые шпаты и основная масса обычно интенсивно пелитизированы, серицитизированы и окварцованы.

Наиболее измененные разности, первоначальный состав которых угадывается только по наличню кварцевых "глазков", представляют собой вгоричные кварциты с примесью (в различных количествах) водных алюмосиликатов, видимо каолинита (диккита), галлуазита, возможно пирофиллита и др. В этих случаях структура породы тонкозернистая или порфиробластовая с микрогранобластовой основной массой. Основная ткань породы представляет собой тонкозернистый агрегат кварца с примесью бесцветного изотропного алюмосиликата. На фоне этой массы, помимо зерен первичного кварца, выделяются мелкие (до 3 мм) желваки алюмосиликата, которые придают породе порфировый облик. Кроме изотропных скоплений, всгречаются также агрегаты со сферолитовым строением. Промежутки между зернами кварца и сферолитовыми алюмосиликатами выполнены бесцвегными чешуйчатыми индивидами с низким преломлением и двупреломлением. Рудный минерал, в шлифах, представлен пиритом и гидроокислами железа (в образцах, взятых с поверхности).

Примерно в центральной части описанного экструзивного тела была пробурена вертикальная скважина, которая свыше 200 м прошла по брекчированным вторичным кварцитам, выполняющим жерло, и в них же была остановлена. При просмотре керна этой скважины, помимо интенсивной вкрапленности пирита, отмеченной на отдельных участках, на глубине 180 м Л. В. Оганесяном был обнаружен прожилок молибденита. Этот прожилок, мощностью в 0,5—1,0 мм и только в участках раздува достигающий 3—3,5 мм, проходит почти параллельно оси скважины (под углом в 15—20) и характеризуется сильной извилистостью, местами приспосабливаясь к контакту обломков и цементирующей массы брекчий или к контакту участков в различной степени измененных, а местами пересекая их.

Первый молибденит из Кафанского рудного поля, безусловно заслуживающий самого тщательного изучения и описания, для нас интересен тем, что он обнаружен в жерле верхнебайосского вулкана. Это является еще одним подтверждением парагенетической связи оруденения Кафанского рудного поля со среднеюрским вулканизмом, ибо в данном случае мы имеем типичную собственно жерловую структуру месторождения (3), обусловленную "... проникновением рудоносных растворов по путям вулканических продуктов в жерлах..."

(6), тогда как до сих пор для Кафана были известны лишь внежер. ловые, линейно-трещинные структуры (3). Показательно также, с точки зрения концентрической зональности оруденения, идущей, для месторождений данного типа, от центров вулканизма, что в описанном жерле было встречено именно молибденовое, а не медное или полиметаллическое проявление. Одновременно нужно отметить, что пространственно оно связано с более высокотемпературной фацией вторичных кварцитов (7), тогда как медное и полиметаллическое оруденения пространственно тяготеют соответственно к монокварцитовой или кварцево-серицитовой и серицитовой и алунитовой фациям вторичных кварцитов.

Научно-исследовательский горнометаллургический институт СНХ Армянской ССР

3Nh. U. LESE

Ղափանի հանքադաշsի վեrին բայասի հ<mark>րաբիսային ապարաsի և ն</mark>քա հեs կապված մոլիբդենի է երևակման մասին

Ղափանի հանթադաշտի պղինձ-կոլչեղանային և բազմամետաղային հանթայնացման կապանիջին յուրայի հրաբխային օջախի հետ այժմ հաստատվում է բազմանիչ փաստերով, բար մինչն այժմ տիպիկ էքստրուզիվ մարմիններ (3) Հարավային Հայաստանի միջին լուրայի վուլկանիզմի համար չեն նկարագրված։ Հոդվածում բերվում է վերին բալոսի հասակի կվարցային պորֆիրների հրարևային ապարատի նկարագրությունը։ Նշված ապառների ելքի պատկանելիունյունը կոկորդային ֆացիային ապացուցվում է նրա տեղադրման ձևով, դիապիրային ծագման դմբեթաձև ծալքի, նորմալ վարնետքների առկայությամը, վերջիններիս նման կառուցվածքներին հատուկ փոխադարձ դասավորությամբ, ինչպես նաև հրարևային կոկորդը կազմող ապարների բնույթով, որոնք ներկայացված են երկրորդական կվարդիտների վերածված կվարդային պորֆիրների էրուպտիվ բրևկչիաներով։

Այդ էքստրուղիվում փորված Հորատանցքի կերնի դիտման ժամանակ է. Վ. Հովհաննիականին կանը դտել է ժոլիրդենիտի հրակիկ։ Ղափանի հանքադաշտում մոլիրդենիտի առաջին հայտնադործումը, այն էլ էքստրուղիվ մարմնում, հեղինակի կարծիքով, հանդեսանում է հրաքիականության հետ հանքայնացման կապը հաստատող ևս մեկ ապացույց, քանի որ այն իրենից ներկայացնում է հանքավայրերի տիպիկ կոկորդային կառույյվածք, որոնց առաջացումը կապված է «...հրաբխակին կոկորդները լցնող ապաոներում հանքային լուծույթների թափանցմամբ... (6)։ Մոլիրդենիտի հայտնարերումը հատկապես հրարին կոկորդում բացատրվում է նաև հանքայնացման հորիզոնական դոնալականության առկայությամբ, որ նման տիպի հանքավայրերի համար բնորոշ է վերջինիս կոնցենտրիկ դասավորությունը հրարիսային կենտրոնների շուրջը։

ЛИТЕРАТУРА — ԳՐԱԿԱՆՈՒԹՅՈՒՆ

¹ В. Н. Котляр, Сборник научных трудов МИЦМЗ, № 25, Метэллургиздат. 1955. ² В. Н. Котляр, А. Л. Додин, Цветные металлы, № 7, 1937. ³ В. Н. Котляр. Изв. ВУЗов. Геология и разведка, № 9, 1960. ¹ Ю. А. Лейе, ДАН АрмССР. т. XXIX, № 3 (1959). ⁵ В. В. Белоусов, Основные вопросы геотектоники, Госгеолтехиздат, 1954. ⁶ В. Н. Котляр, ЗВМО, ч. ХСІ, вып. 4, 1952. ⁷ Н. И. Наковник, Мзв. АН СССР, сер. геол., № 1, 1947.

РАДИОГЕОЛОГИЯ

Р. Х. Гукасян

Определение абсолютного возраста молодых интрузивов Rb—Sr методом на примере Мегринского плутона Армянской ССР

(Представлено академиком АН Армянской ССР К. Н. Паффенгольцем 29/Х1 1962)

Важнейшим моментом определения абсолютного возраста геолотических формаций калий-аргоновым методом является сохранность радиогенного аргона в минералах, так как при оценке возраста предполагается, что весь образовавшийся аргон в течение геологической истории минерала сохранился в кристаллической решетке и были исключены какие-либо его потери.

Различные наложенные геологические процессы, сопровождаюшнеся повышением температуры и перекристаллизацией (метаморфизм, явление метасоматоза и т.д.), могут вызвать потерю аргона, что, естественно, приводит к занижению возраста. Существуют многочисленные геологические критерии, которые следует использовать при оценке предположения о сохранности аргона. Однако не всегда возможно только геологическими данными однозначно решить вопрос сохранности радиогенного аргона в минерале. Более надежным доказательством этого является согласованность возрастов, полученная калий-аргоновым методом на различных геологически одновозрастных минералах. По мнению некоторых американских исследователей (1), это является достаточно хорошим доказательством сохранности аргона в минерале, если при комнатной температуре не происходит диффузии аргона по кристаллической решетке минерала. Однако не всегда удается найти сосуществующие слюды, лучший материал для определения возраста магматических образований калий-аргоновым методом, а калневые полевые шпаты, как правило, теряют часть своего радиогенного аргона (в среднем 25—30%) и, следовательно, дают заниженные результаты по сравнению со слюдой. Поэтому определения возраста калийаргоновым методом желательно контролировать каким-либо другим методом.

Геохимическое родство калия и рубидия (рубидий изоморфнозамещает калий в калиевых минералах) позволяет определить воз-

раст калиевых минералов двумя независимыми методами — $K - A_{I-H}$ Rb—Sr. Совпадение цифр возраста по этим двум методам будет наилучшим доказательством сохранности радиогенного аргона и надежности полученного значения возраста.

Rb—Sr метод определения возраста, предложенный В. М. Гольдшиидтом еще в 1937 году, получил большое распространение лишь в последние годы. Это было вызвано экспериментальными трудностями, с которыми связано точное определение малых количеств рубидия и стронция. Получение меченых атомов и появление метода изотопного разбавления значительно расширили аналитические возможности точного определения этих элементов, что послужило толчком для развития рубидий-стронциевого метода.

В связи с этим мы сделали попытку определить абсолютный возраст некоторых молодых (третичных) интрузивных пород Мегринского плутона Армянской ССР рубидий-стронциевым методом и сопоставить полученные данные с данными абсолютного возраста калий-аргонового метода. Объектом для этого исследования служили слюды из пегматитов щелочных пород Мегринского ингрузивного комплекса, широко развитых в метаморфической толще палеозоя в районе сел. Швачидзор. Исходя из общих геохимических принципов, пегматитовые слюды должны содержать мало обычного (нерадиогенного) стронция, что весьма важно при определении возраста этим методом. В одном случае определен возраст биотита из монцонитовых пород плутона района пос. Каджаран.

Содержание аргона определялось обычным объемным методом на приборе Хлопина—Герлинга. Доля радиогенного Ar¹⁰ в общем измеренном аргоне устанавливалась на масс-спектрометре типа МС-2 двухлучевым методом измерений. Содержание калия определялось химическим ускоренным перхлоратным методом, разработанным М. Л. Ященко В. С. Варшавской в лаборатории геологии докембрия АН СССР.

Содержание Rb⁵⁷ и Sr⁸⁷ определялось методом изотопного разбавления. В качестве индикаторов использовались растворы чистых солей RbCl и Sr(NO₃), соответственно обогащенные изотопами Rb⁸⁷ и Sr⁸⁴. Тигр этих растворов определялся как весовым путем, так и методом изотопного разбавления, с использованием в качестве стандартов растворов обычных солей рубидия и стронция с точно известной концентрацией. Химическая подготовка образца для масс-спектрометрических измерений подробно описана Э. К. Герлингом с сотр. (2) и Г. В. Овчинниковой (3). Измерение рубидия и стронция производилось на масс-спектрометре типа МИ-1305, однолучевым методом измерений. Для изотопного анализа рубидия использовался обычный одноленточный источник, вольфрамовая ленточка которого перед нанесением образца отжигалась в вакууме и проверялась на масс-спектрометре на отсутствие в ней рубидия. Для изотопного анализа стронция использовался двухленточный источник, одна из лент которого служила испаригелем вещества, а другая ионизатором...

Полученные аналитические данные, необходимые для вычисления K—A и R b—Sr возрастов, приведены в табл. 1 и 2. В табл. 2 приводится также содержание обычного Sr, процент радиогенного Sr^{87} от общего Sr и доля радиогенного Sr^{87} в суммарном Sr^{87} .

Таблица 1 °/₀ К К⁴⁰ г/г·10⁻⁶ Аг⁴⁰ радиог. Аг⁴⁰ рад. см/г Аг⁴⁰ рад. г/г Аг⁴⁰/К⁴⁰ ×10⁻⁹ 10⁻³ 9,96 0,490 11,93 $8,16\pm0,08$ 81 $8,16 \pm 0,08$ 9,96 0,485 11,52 $8,16\pm0,08$ 0,690 9,96 12,62 cp. $12,02\pm0,40$ 21,50 2,16. $11,55\pm0,46$ 0,651 126-M 8, 41 ± 0.09 10,26 $12,60\pm0,63$ 0,350 10,26 $8,41 \pm 0,09$ cp. $12,08 \pm 0.52$ 2,11 21,60 20,20 2,20 $11,25\pm0,60$ 0,580 $7,51 \pm 0,08$ 9,16 125 — Б 2,05, 20,60 $11,50\pm1,00$ 0,325 10,05 125-M 8, 24 ± 0.08 7,28 0,345 8,84 $7,25\pm0,07$ 8,28 $7,25\pm0,07$ 8,84 0,430 $7,87 \pm 0,61$ 0,330 $7,56 \pm 0,08$ 9,22 cp. 7.81 ± 0.35 1,55: 13,96

Ошибка определения радиогенного A^{40} слагается из ошибки объемного измерения всего аргона и ошибки масс-спектрометрической поправки на воздушный аргон. Ошибка масс-спектрометрической поправки сильно зависит от количества воздушного аргона в пробе. При содержании в пробе около $75^{\circ}/_{\circ}$ воздушного аргона эта ошибка достигает уже $12^{\circ}/_{\circ}$ (если $A^{40}/_{\circ}$ Аг³⁶ отношение эталона измерено с точностью $\pm 2,5^{\circ}/_{\circ}$). При содержании радиогенного аргона-40 в пробе около $50^{\circ}/_{\circ}$ эта ошибка сравнительно небольшая—примерно $\pm 3,5^{\circ}/_{\circ}$. Погрешность объемного измерения общего аргона составляет примерно $\pm 3^{\circ}/_{\circ}$. Точность определения содержания калия в слюдах оценивается $\pm 1-1,5^{\circ}/_{\circ}$. Общая ошибка определения возраста в среднем составляет $\pm 10^{\circ}/_{\circ}$.

T	аб	Л	U	ца	2	

обр.	Навес	ка в г		Sr обыч.	°/ _° Sr ⁸⁷ рад.	°/ _o Sr рад.	Sr ⁸⁷ рад.	
Nº o	для Rb	для Sr	º/º Rb87	$z/z \times 10^{-6}$	10 ⁻⁵	от общ. Ѕг	Sr87 cymm.	
81	0.10	20.0	0.0324 ± 0.0004	9,57	$2,10\pm0,25$	2,15	0,239	
126—M		5,0	0.0409 ± 0.0005	2,20	$2,30\pm0,16$	9,49	0,597	
125 — M		2.0	0.0388 ± 0.0004	4.77	$2,10\pm0.13$	4,22	0.386	
1	0,10	2,0	0.0155 ± 0.0002	3,57	0,682	1,87	0,210	

Оценка погрешности определения рубидия показала, что точность определения рубидия составляет около $\pm 1.5^{\circ}/_{\circ}$. Что касается точности определения радиогенного Sr⁸⁷, то здесь ошибка возрастает с увели. чением содержания обычного Sr в образце. Однако, как показала Г. В. Овчинникова (3), при работе методом изотопного разбавления при содержании радиогенного Sr⁸⁷ около 0,5% от общего Sr погрешност определения радиогенного Sr^{87} равна еще $\pm\,15^{0}/_{0}$. При содержании радиогенного Sr^{87} от общего Sr около $2^0/_0$ эта ошибка составляет всего $+5-6^{0}/_{0}$. Согласно Л. Калпу (1), возвратные данные, полученные на образцах с большим содержанием обычного Sr, малонадежны, вследствие изменения изотопного состава Sr в природе. Указывая на то. что первоначальная изотопная распространенность Sr87 в гранитах и гранитных пегматитах за последние 3 млрд. лет, вероятно, изменилась на 3%, Л. Калп делает вывод, что в тех образцах, где содержание радногенного Sr⁸⁷ от общего Sr ниже 25%, колебания изотопного состава обычного Sr являются серьезным источником ошибок при определении радиогенного Sr⁵⁷. Как видно из табл. 2, в наших образцах содержание радиогенного Sr⁸⁷ от общего Sr максимально достигает 9,49% (обр. № 126-М), что значительно ниже указанного Калпом предельного значения. Однако здесь следует указать, что для молодых геологических образований эти колебания изотопного состава обычного Sr не могут быть источником больших погрешностей, так как при вычислении содержания радиогенного Sr^{87} используется изотопный состав современного стронция. Точность определения возраста по Rb-Sr методу составляет примерно ± 10%.

Вычисление возрастов производилось по формулам

$$t_{K-Ar} = \frac{1}{\lambda_e + \lambda_\beta} \ln \left(1 + \frac{\lambda_e + \lambda_\beta}{\lambda_e} \, \frac{A r^{40}}{K^{40}} \right) \quad \text{if} \quad t_{Rb-Sr} = \frac{0/0 \, S r^{87} \, pag}{0/0 \, Rb^{87} \cdot \lambda},$$

где $\lambda_e = 5.5 \times 10^{-11} \, \mathrm{год}^{-1}$ константа электронного захвата K^{40} $\lambda_3 = 4.72 \times 10^{-10} \, \mathrm{год}^{-1}$ константа 3 распада K^{40} $\lambda = 1.39 \times 10^{-11} \, \mathrm{год}^{-1}$ константа 3 распада Rb^{87} .

Принятое нами значение λ_e получено Э. К. Герлингом (4) геохимическим методом и мало отличается от общепринятого в настоящее время значения $\lambda_e = 5.85 \times 10^{-11}$ год $^{-1}$ (полагают, что это значение отличается от истинного значения в пределах $\pm 5^0/_{\rm o}$). Для вычисления количества K^{40} исходили из установленного Ниром отношения $K^{40} = 1.22 \times 10^{-4}$ г/г К (весовые проценты). Значение константы распада Rb^{87} $\lambda = 1.39 \times 10^{-11}$ год $^{-1}$ в настоящее время считается наиболее надежным. Это значение получено Олдричем, Везериллом и др. в 1956 году (5) геохимическим путем с помощью метода изотопного разбавления. В этом же году Хустером и Раушем (6) такое же значение получено непосредственно счетным методом. В 1959 году Г. В. Овчинниковой (3) получено значение $\lambda = 1.38 \times 10^{-11}$ год $^{-1}$, что хо-

 $_{\text{распространенность}}$ с предыдущими двумя определениями. Изотопная $_{\text{распространенность}}$ $_{\text{Rb}^{87}}=0.283$ г/г $_{\text{Rb}}$.

Полученные нами значения возраста сведены в табл. 3. Как видно из таблицы, значения возраста по двум методам, в пределах экспериментальной ошибки, находятся в замечательном согласии. Схо-пимость результатов, полученных этими двумя различными методами, является довольно убедительным доказательством отсутствия потерь как радногенного аргона, так и стронция за время, истекшее с мо-пента кристаллизации этих минералов. В противном случае, т. е. при наличии утечки, следовало ожидать, что скорости миграции таких со-першенно различных атомов, как Ar40 и Sr87, были бы различны.

Таблице 3

2			Возраст в млн. лет		
Z Oob	Название минерала	Место взятия	K Ar	Rb Sr	
41	Мусковит из турмалин-муско-витовых пегматитов • • •	Западная окраина с. Шва-	39 - 2	46±5	
126 M	Мусковит из нефелино-сиени- товых пегматитов · · · ·	с. Шванидзор, разв. Тегут	38 ± 3	41±3	
125 B	Биотит из биотит-мусковито- вых пегматитов · · · · ·	- 72	40 ± 3		
425 M	Мусковит из биотит-муско- витовых пегматитов •	25 25	37 ± 4	39±3	
1	Биотит из монцонитов	пос. Каджаран, каменоломня	28 ± 3	31	

Полученное значение возраста по многим шкалам геологического времени, в частности по шкале, принятой IX сессией комиссии по определению абсолютного возраста геологических формаций, соответствует верхнему эоцену, что указывает на верхнеэоценовый возраст начала формирования Мегринского плутона (первая фаза внедрения).

Первые результаты определения возраста третичных пород Мегринского плутона Rb—Sr методом показывают на принципиальную возможность применения этого метода для определения возраста мо-

подых магматических образований.

В заключение автор считает своим приятным долгом выразить пубокую благодарность профессору Э. К. Герлингу и М. Л. Ященко ценные советы, указания и помощь при выполнении настоящей работы, а также Дж. Мкртчян, принимавшей участие в химической обработке двух образцов.

Институт геологических наук Академии наук Армянской ССР

Ռ. Խ. ՂՈՒԿԱՍՅԱՆ

Երիջասարդ ինորուգիաների բացարձակ հասակի որոշումը Rb-Sr մեթոգով Հայկական ՍՍՌ Մեդրու պլուջոնի օրինակով

երկրարանական ֆորմացիաների ըացարձակ հասակի որոշման K—Ar մեթոդի հիմ-Հանդարանանությերից մեկը ռադիողեն արգոնի պահպանվածությունն է մինսերալների յքեց, բանի որ հասակի գնահատման ժամանակ ենիժադրվում է, որ K+0 ռագիսակաիվ բայ րայումից տուածացած արդոնը ամրողջությամբ մնացել է միներայի բյուրեղական ցանցու Տարբեր երկրաբանական պրոցեսներ՝ կապված ջերմաստիճանի բարձրացման և վերաբյու րեղացման ձետ կարող են առաջ բերել, երբեմն նշանակալի չափի, արդոնի կորուստ, որ րն ականաբար հանդեցնում է հասակի ցածրացմանը։ Գոյություն ունեն երկրաբանական ընտույնի մի շարբ չափանիչներ, որոնք անհրաժեշտ է օդտագործել արդոնի պահպանվա ծություն ենթիագրությունը գնահատելու ժամանակ։ Սակայն, միայն երկրաբանակա ավյայներով, ժիչա չէ, որ Տնարավոր է ժիարժեր որոշել սագիոդեն արգոնի պահպանվա ծության աստիճանը միներալում։ Այդ պատճառով էլ ցանկալի է և անհրաժելա, է մեխիոցով չառակի որոշումը վերաչակել չառակի որոշման մի որևէ այլ մեթիոցի։ կա_{լիաժ}յ և ռուրիդիումի դեոքիմիական մերձավորությունը (ռուրիդիումը իդոմորֆ տեղակալում) կայիումին կայիումային ժիներայներում) ծնարավորություն է տայիս կալիումային մի The purplikaple Somewhat a proper to be for the form of K Ar to Rb-Sr. Funguipant Someth արացման Rb-Sr մեթեոգը լայն տարածում է ստացել միայն վերջին տարիներում, որ կապված է նչակիր աստոմների առացման և իզոտոպային խառեման մեթեոգի երևան դալու Shim:

Ելնելով վերը նշվածից, փորձ է արված մի քանի երիտասարդ (երբորդական հասակ) ինտրուզիվ ապառների K—Ar հասակը վերածոկել բացարձակ հասակի որոշման Rb—Sr մեթողով։ Ուսումնասիրության են ննիկարկվել Մեդրու ինտրուզիվ կոմպիքըսի ալկալային ապառների պեղմատիաների փայլարները, որոնք բայն տարածում սւնեն։ Շվանիձոր գյուղի շրջակայրի պալեստոյան հասակի մետամորֆային չերաախմրում։ Համաձայն դեռքիմիական ընդհանուն ակդրուների պեղմատիտային փայլարները պետք է պարունակեն քիչ սովորական (ոչ ռադիոդեն) ստրոնցիում, որը շատ կարհոր է Rb⁸⁷ քայքայնան տրդյունքի՝ ռադիոգեն Տլ⁸⁷ աննչան քանակները մեծ ճշաությամբ որոշելու համար։

Արզոնի որոշումը կատարվել է ծավալային մեխոդով Խլոպինի Գերլինգի սարդա. վորման վրա: Ռադիոդեն արդոնի քանակը ընդհանուր արդոնի մեջ որոշվել է ԿС-2» մասո-սպեկարոմեարի միջոցով։ Կալիումի քանակը որոշվել է պերիլորատույին մեխոդով։

Rb⁸⁷ և St⁸⁷ թանակությունը որոշվել է իղոտոպային խասնման եղանակով MM-1306 մասս-սպեկարոմեարի միջոցով։ Որպես ինդիկատորներ օդտագործվել են RbCl և St(NO₁) մաջուր աղեր, համապատասխանարար հարստացված Rb⁸⁷ և St⁸⁴ իղոտոպներով։

երկու մեթողներով ստացված հասակի ավյալները, փորձի սխալի պայմաններով գտնվում են հիանալի համաձայնության մեջ, որը ստղիողեն արդոնի պահպանվածության և ստացված թվերի հուսալիության բավականըն համոզեցուցիչ տպապույց է։

Ստացված խվերը, ըստ բացարձակ տարեխվարկման գեռխրոնոլոգիական մի չար աղյուսակների, համապատասխանում են վերին էոցենին, որը բույց է տալիս Մեզրա ինտրուցիվ զանդվածի ձևավորման վերին էոցենային հասակը /ներդրման տոսջին ֆազա

Մեզրու ինտրուգիվ դանդվածի օրինակով՝ Rb—Sr մեխոդով երբորդական ժամանա կաշրջանի ապասների հասակի օրոշումը ցույց է տալիս, որ այդ մեխոդր սկդրունքորն հնարավոր է կիրառել երիտասարդ մադմատիկ ֆորմացիաների հասակը որոշելու համար

JI MTEPATYPA — TOUGUESHES

Е. В. Гаст Дж. Л. Кали и Л. Е. Лонг, Trans. Ат. Geophys. Union. 31 1958. ² Э. К. Герлинг, М. Л. Ященко, Л. К. Левский, Г. В. Овчинникова, Геохимия, № 5, 1960. ¹ Э. К. Герлинг, Геохимия, № 4 1956. ² Л. Т. Олдрич, Г. В. Везерилл, Г. Р. Тилтон, Г. Л. Девис, Phys. Rev. 105 1956, стр. 1045—1047. ² Л. Р. Олдрич и Г. В. Везерилл, Апп. Rev. Nuc. Sci. 8, 1958.

XXXXVI

1963

3

СТРАТИГРАФИЯ

С. П. Бальян

Новые данные о древнем оледенении Армении

(Представлено академиком АН Армянской ССР С. С. Мкртчяном 14 X! 1962)

Вопросу о древнем оледенении Армянского нагорья и Малого Кавказа посвящено много исследований, причем о характере, числе и границах его распространения имеются разноречивые представления.

К. Н. Паффенгольц (1), А. Л. Рейнгард (2), Л. А. Варданянц (3), А. А. Габриелян (4), А. Т. Асланян, С. П. Бальян (5.6) указывают на наличие следов многократных оледенений. Другие исследователи: Б. Л. Личков (7), Н. В. Думитрашко (8), Г. К. Габриелян (9), Е. А. Нефедьева (10), Б. А. Антонов (11) и др. считают, что высокогорные районы Армении подверглись только одному оледенению, которое имело карово-долниный характер. В дальнейшем Н. В. Думитрашко несколько изменила свою точку зрения, допуская возможность среднечетвертичного оледенения.

Спорным узлом в решении вопроса древнего оледенения долгое время служили крупные вулканические массивы Арагац и Гегамское нагорье. К. Н. Паффенгольц и А. Л. Рейнгард здесь установили два различных по возрасту и типу оледенения. Первое, соответствующее риссу, имело покровный характер, а второе — вюрмское — было приурочено к глубоким долинам и водосборным воронкам, т. е. оледенение имело карово-долинный характер.

Проведенные в последние годы крупномасштабные картировочные работы четвертичных отложений, сопровождаемые бурением и
горными выработками, привели нас к заключению о неоспоримости

наличия следов двух различных по типу оледенений.

На Арагаце установлено, что оледенение рисского времени покрывало общирные площади вершин и привершинного плато, опускаясь до абсолютных высот—2200 м на севере и 2500 м на юге. Следы этого оледенения четко сохранились на водораздельном плато в виде размытых, однако еще мощных (местами превышающих 50 м) ти-

Более свежы следы последнего (вюрмского по времени) оледечения которые морфологически совершенно четко выделяются в троговых долинах в виде конечных, береговых донных морен и экзаррационных форм— лестниц каров, ригелей, трогов, бараньих _{лбов} и пр.

Морфологический анализ указанных форм свидетельствует о 4. 5 фазах стадиального отступления горно-долинных тедников. Следует еще отметить, что, кроме морфологически выраженных следов двух-кратного оледенения, имеются также мощные валунно-галечные по-кровы флювиогляциального генезиса раннечетвертичного возраста, развитые в предгорьях, подобно фациям моласс. Это свидетельствует о возможности наличия древнечетвертичного оледенения.

Следы многократного оледенения аналогично Арагацу и Гегамскому нагорью установлены также на Сюникском, Варденисском вулканическом нагорьях и высокогорных зонах Мокрых гор, Зангезурского и Айоцдзорского хребтов.

Что касается остальных областей складчатых цепей Малого Кавказа, имеющих среднюю абсолютную высоту не выше 2500—2800 м (например, Севанский, Арегунийский, Базумский, Памбакский хребты и др.), то у большинства исследователей установилось определенное представление, что они в четвертичный период находились в основном ниже снеговой линии и не были подвергнуты оледенению.

В настоящее время в результате геоморфологических исследований в бассейнах рек Памбак, Акстев, Масрик получены новые данные о наличии следов среднечетвертичного (возможно и нижнечетвертичного) оледенения на вышеуказанных горных массивах.

В долине правого притока реки Акстев — Фролова балка имеются весьма характерные по морфологии и фациям моренные отложения, мощность которых, судя по данным буровых скважин, достигает 60 м.

Моренный язык протягивается вверх по долине на протяжения около двух километров, шириной 200—250 м и состоит из валунно-галечных накоплений с супесчано-суглинистым заполнителем. Величина валунов варьирует в широких пределах от 3—4 м до 50—60 см в диаметре. Петрографический состав материала морены более или менее однороден; состоит главным образом из гранитоидов и частично нефелиновых сиенитов, принесенных из расположенных в 7—8 км западнее интрузивных массивов Гилут—Теж-лер в бассейне верховья Памбак. В основном морена состоит из гранитной дресвы, хорошо окатанных галек, состоящих из различных эффузивных пород, слагающих соседние с интрузиями горные сооружения. Морена имеет очень плотное сложение, местами сильно сцементирована железистыми растворами минеральных вод, циркулирующих в них. Выходы источников в этой сбросовой долине в нижнечетвертичный период были значительными.

Описывая характерные свойства морены в долине Фролова балка, следует упомянуть, что исследовавшие этот район геологи допустили ошибку, приняв эту морену за пластовую гранитондную интрузию, что, конечно, с мереной ничего общего не имеет.

Остановимся теперь на вопросе о возрасте морены. Фролова балка по своей морфологии представляет собой зрелую долину. Она является частью древней долины Памбака, дно которой протягивалось по направлению с СЗ на ЮВ, соединяя Гамзачиманскую котловину через фролову балку и Казачий бугор с верховьем реки Дзыкнагет (западнее Семеновского перевала).

В структурном плане здесь проходит ундулирующая синклинальная складка, осложненная продольными и диагональными сбросами. По этой зоне довольно хорошо прослеживаются высокие уровни речных террас и древних денудационных (отчасти экзаррационных) стушеней, деформированных последующими диаъюнктивными нарушениями. На указанных уровнях местами сохранились фрагменты галечников.

Уровень экзаррации выделяется на высоком склоне горы Тежлер в виде широкого, сильно разрушенного диища кара на высоте 3050 м; далее, проходя перевальную седловину, он врезается в интрузивный массив Гилут и, постепенно понижаясь, переходит в контуры древней долины в виде высоких уступов трога на отметках 2500—2200 м и, наконец, сливается с конечной моренной грядой Фроловой балки.

В период формирования иятой (среднечетвертичной) террасы в результате омоложения ряда сбросовых нарушений происходит перестройка в направлении стока главной речной артерии Палеопамбака. Врезанием р. Акстев в поперечную антиклинальную складку на участке фиолетово—Дилижан закладывается в дальнейшем глубокое ущелье антецедентно-эпигенетического типа. В результате перехвата реки Палеопамбак на участке Фиолетово—Дилижан морена Фроловой балки, соответствующая по возрасту 5—6 террасам, т. е. средне-нижнечетвертичной, остается изолированной и предохраняется от дальнейшей эрозии.

Ереванский государственный университет

U. M. FULBUV

Նու <u>չվյալնե</u>։ Հայաստանի հնագույն սառցապատումների մասին

ատերական լեռնաշիռարհի հնագույն սառցապատումների, ևրանց թնույքի, տարածման ատենական մասին գոյունյուն ունեն տարբեր կարծիթներ։

Ուսումնասիրողների մի խումբ գտնում է, որ Հայաստանի բարձր լեռնային շրջանները։ արկարդական ժամանակաշրջանում ենթարկվել են տարբեր ընույքի մի ջանի սառցապատմանը։ Ուսումնասիրողների մի խումբ գտնում է, որ Հայաստանի բարձր շեն սադասամանը։

Սատցված են նար տվյարհեր Փամբակ, Ազստեվ, Մատրիկ գետերի ավազաններում քիրի չորրորդականի սառցապատման հետրերի վերարհրյալ։

Համաձայի մինչև օրս դոյություն ունեցող կարծիրների, Փորը Կովկասի լեռնաչդնաների այն խումբը, ոոր գտնվում է 2506—2800 մետր բարձրություններից ցածր մակարդակների վրա, երբևիցե սառցապատումների չի ենթարկվել։

Մեր կողմից շայտնաբերված միջին չորրորդականի տիպիկ մորենային կուտակումները Նրոլովո-բալկայում (Աղստեվ—Փամբակ գետերի ավագանում) և Սոտթի լեռնանցքի չրչա-Նում (Մասրիկ դետի ավագան) ապացուցում են, որ Փորը Կովկասի միջին բարձրությա Նուները չորրորդականում նույնայես ննիարկվել են զդայի սառցապատումների։

ЛИТЕРАТУРА — ЧРИЧИВОПЬ ФВОБЪ

К. Н. Паффенгольц, Зромо, ч. LX, вып. 2, 4931; "Геология Армении", геолизд., М.-Л., 1918. ² А. Л. Рейнгард, "Природа", № 3, 1939. ³ Л. А. Барданинц, Постплиоценовая история Кавказско-Черноморско-Каспийской области, АН АрмССР, Ереван, 1948. ⁴ А. А. Габриелян, ДАН АрмССР, т. IV, № 2 (1946). ⁵ А. Т. Асланин, С. П. Бальян, Бюля. МОИП, отд. геол., т. ХХVIII, № 6, 1953. ⁶ С. П. Бальян, Геология АрмССР, том I (геоморфология), Ереван, 1962. ⁶ Б. Л. Личков. Труды СОПС СССР, серия Закавк., т. I, вып. 3, 1931. ⁶ Н. В. Думитрашко, Труды Ин-та геогр. АН СССР, вып. 43, 1949, вып. 47, 1959. ⁹ Г. К. Габриелян, "Природа", № 9, 1950, изв. ВГО, т. ХХХII, вып. 2, 1950. ¹⁰ Е. Н. Нефефьева, Труды Ин-та геогр. АН СССР, вып. 47, 1950. ¹¹ Б. А. Антонов, Труды Ин-та геогр. АН АзССР, т. II, баку, 1953, ДАН АзССР, т. IX, № 5, (1953).

The state of the s

ПАЛЕОНТОЛОГИЯ

В Т Акопян

Новые позднемеловые гастроподы Армянской ССР

(Представлено академиком АН Армянской ССР С. С. Мкрачяном 14 XII 1962)

Среди наших сборов гастропод из верхнемеловых отложений бассейна р. Веди и Базумского хребта в период 1959—1961 гг. окавалось большое число (свыше 100) экземпляров, которые принадлекат к новому роду впутри семейства Actaeonellidae Pčelincev.

Рассматриваемый новый род имеет большое сходство с родом *Trochactaeon* по форме раковины, характером соединения оборотов, вормой устья и особенностями внутренней спиральной складчатости, на основании которого их можно объединить в одно подсемейство Trochactaeoninae subfam. nov.).

Ниже приводится описание только четырех видов нового рода, в которых три являются новыми, а четвертый до настоящего времеш был известен из нижнего сенона Южной Африки.

ОТРЯД OPISTOBRANCHIA

Семейство ACTAEONELLIDAE PČELINCEV. 1954

Подсемейство TROCHACTAEONINAE SUBFAM. NOV.

Род Purpuractaeon Hacobjan gen. nov.

Типичный вио-Purpuractaeon péelincevi Hacob. gen. et sp. nov.

нижний сенон. Армянская ССР.

Диагноз. Раковина конусообразная или овально-коническая среднях и крупных размеров. Обороты значительно или сильно объемлюнае и соединяются лестинцеобразно. Последний оборот слагает поновину или больше половины общей длины раковины. Шов малоуглубленный. Характерным является наличие скульптуры, представненной крупными бугорками на верхнем крае оборотов. Устье удлиненное, узкое, расширяющееся в нижней своей части, с 3 внутренними спиральными складками на столбике.

Обоснование выделения рода. Новый род от единственного олизкого рода Trochactaeon легко отличается наличием скульптуры, выраженной довольно крупными бугорками у верхиего края оборотов.

Видовой состав. Кроме типичного вида, к роду Purpuractaeon чиносятся P. vediensis sp. nov., P. conicus sp. nov., P. globulosus

sp. nov. (in coll.), *P. basumensis*. sp. nov. (in coll.), а также извесь ные в литературе *Actaeonella cretacea* Müller, A. beyrichi Drescher A. (Trochactaeon) woodsi Rennie, Tornatella lamarkii Kefersi (в изображении Гольдфусса).

Время существования и географическое распространение Нижний сенон. Южная Африка, Германия, Армянская ССР.

Purpuractaeon pčelincevi Hacobjan gen. et sp. nov.* Табл. 1, фиг. 3--5.

Оригиналы № 2 105 и 3 105, 18/105. Музей Института геоюгических наук АН Армянской ССР, Ереван.

Материал. Около 40 экземпляров хорошей сохранности из _{двух} местонахождений.

Описание. Раковина довольно крупная, конически овальных очертаний, состоит из 5—7 сильно объемлющих оборотов с вершинных углом спирали в 100°. Она на три четверти сложена последним оборотом, ширина которого достигает высоты раковины. Наибольшая ширина последнего оборота наблюдается у его верхнего края, несколько ниже от малоуглубленной шовной линии. Наличие околошовной площадки обусловливает лестничный характер соединения оборотов друг с другом. Верхний край оборотов резким перегибом суживается к шовной линии.

Скульптура представлена крупными бугорками, расположенным у верхнего края оборотов. Число их на полном обороте составляет 8—-9. Иногда на боковой поверхности раковины видны штрихи на растания.

Высокое устье заострено вверху и камеровидно расширено в нижней части. В его полость вдаются 3 внутренние спиральные склагки, расположенные на столбике.

Обоснование выделения вида. Новый вид от Purpuractaeon woodsi (Rennie) (1,1930, стр. 232, табл. XXVII, фиг. 17—20) отличается более открытым вершинным углом спирали, большей относттельной шириной и более крупными размерами раковины, меньшим числом бугорков на поверхности оборотов.

Близкие к рассматриваемому виду формы описаны Гольцапфелем из нижнего сенона Германии под названием Actaeonella cretaced Müller (2,1887—88, стр. 82, табл. VII, фиг. 11,14—16). Следует отметить, что из этих форм к виду Мюллера (3, 1851, стр. 17, табл. III. фиг. 21) можно относить только маленький экземпляр (фиг. 14), остальные (фиг. 11, 15—16), характеризующиеся более открытым вершинным углом спирали, большой относительной высотой вогнутостью последнего оборота и своеобразной скульптурой, прев

^{*} Вид назван в честь проф. В. Ф. Пчелинцева.

ставляют самостоятельный вид. Последний отличается от описываемого вида вогнутостью оборотов и иным характером скульптуры

Время существования и географическое распространение. Ниж-

ний сенон. Армянская ССР.

Местонахожовние. Армянская ССР, Вединский район., с. Енгиджа—38 экз., Степанаванский район, с. Куйбышев (левый берег р. . Желтой)—2 экз. Конгломераты нижнего сенона.

Purpuractaeon vediensis Hacobjan gen. et sp. nov. Табл. II, фиг. 1-3.

1936. Actaeonella (Trochactaeon) woodsi Rennie. New Lamellibranchia and Gastropoda from the upper cretaceous of Pondoland, стр 232, табл. XXVIII, фиг 21) поп фиг. 17—20).

Оригиналы № 1/105, 4/105, 5/105. Музей Института геологических наук АН Армянской ССР. Ереван.

Материал. 19 экз. хорошей сохранности из одного местонахождения.

Описание. Раковина крупная удлиненно-овальных очертаний, на шесть десятых слагается последним оборотом, ширина которого равна его высоте. Вершинный угол спирали на начальных 5 оборотах более открытый (110°), а на последующих оборотах значительно уменьшается (около 50°). Плошадка лестничного соединения оборотов очень узкая. Наибольшая ширина оборотов расположена несколько ниже их верхнего края. К шовной линии последний оборот суживается резким перегибом, а к нижнему концу оборота суживание происходит постепенно. Скульптура выражена 7—8 крупными бугорками, образующими ряд у верхнего края оборотов. К последнему обороту бугорки постепенно сглаживаются и исчезают. На поверхности оборотов видны и штрихи нарастания. Устье удлиненное, высокое, внизу камеровидно расширенное с тремя внутренними спиральными складками столбика и валикообразным вздутием на внешней губе.

Размеры типичного экземпляра (в мм)

Обоснование выделения вида. Рассматриваемый вид от вышеописанного Purpuractaeon pcelincevi sp. поv. отличается удлиненноовальными внешними очертаниями раковин, сравнительно мало объемлющими оборотами, меньшей относительной высотой последнего
оборота.

Время существования и географическое распространение.

Нижний сенон. Африка и Армянская ССР.

Местонахождение. Армянская ССР, Вединский район, сел. Енгиджа. Конгломераты нижнего сенона.

^{*} Вид назван по месту нахождения его остатков.

Purpuractaeon conicus Hacobjan gen. et sp. nov*. Табл. I, фиг. 1.

Оригинал № 15/105. Музей Института геологических наук Ан Армянской ССР. Ереван.

Материал. 9 экземпляров довольно хорошей сохранности из одного местонахождения.

Описание. Раковина средних размеров, овально-конических очертаний, состоит из 5—6 сильно объемлющих оборотов. Завиток очень низкий, едва выступающий над последним оборотом, слагающим около девяти десятых высоты раковины. Вершинный угол спирали составляет 130, образующая конуса вогнутая, а на некоторых экземилярах завиток почти плоский. Максимальной ширины последний оборот достигает у своего верхнего края, который крутым перегибом прилегает к шовной линии. Боковая поверхность по направлению к закругленному концу устья постепенно суживается.

Скульптура представлена рядом крупных бугорков, расположенных на верхнем крае оборотов. Число их на полном обороте достигает 7. Редко наблюдаются тонкие штрихи нарастания.

Устье удлиненное, узкое, внизу расширенное с гремя внутренними складками столбика.

Обоснование выделения вида. От Purpuractaeon pčelincevi sp. nov. и P. woodsi (Rennie) (1, 1930, стр. 232, табл. XXVIII, фиг. 17—20) рассматриваемый вид отличается формой раковины, более открытым вершинным углом спирали, сравнительно высоким и широким последним оборотом, очень низким завитком. Этими же признаками, а также отсутствием вогнутости на средней части оборотов и характером скульптуры новый вид легко отличается от экземпляров, описанных Гольцапфелем под названием Actaeonella cretacea Мüller (2, 1887—1888, стр. 82, табл. VII, фиг. 11, 15, 16).

Время существования и географическое распространение. Нижний сенон. Армянская ССР.

Местонахожовение. Южный склон г. Ерах у с. Енгиджа Вединского р-она Армянской ССР. Конгломераты нижнего сенона.

Purpuractaeon woodsi (Rennie) Табл. I, фиг. 2, Табл. II, фиг. 4-5.

1906. Actaeonella (Trochactaeon) sp. Woods. The cretaceous Fauna of Pondoland, стр. 328, табл. XLI, фиг. 1.

1930. Actaeonalla (Trochactaeon) woodsi Rennie. New Esmellibranchia and Gastropoda from the upper cretaceous of Pondoland, стр. 232, табл. XXVIII, фит. 17—20 (non фит. 21).

Вил назван по форме раковины

Оригиналы № 20/105, 25/105, 26 105. Музей Института геологических наук АН Армянской ССР, Ереван.

Материал. 6 экземпляров довольно хорошей сохранности из

твух местонахождений.

Описание. Раковина небольшая, узкая, конически-овальных, несколько цилиндрических очертаний, состоит из 5—6 высоких сильно объемлющих оборотов. Завиток предыдущих оборотов широкий с вершинным углом спирали в 75—85°. Образующая конуса прямая. Околошовная площадка лестницеобразно соединяющихся оборотов узкая. Последний оборот высокий и составляет около восьми десятых общей длины раковины. Наибольшей ширины он достигает у свсего верхнего края, откула резко перегибается к шовной линии. Редко на средней части последнего оборота наблюдается слабая вогнутость. Скульптура выражена 9—12 бугорками, ображении ряд у верхнего края оборотов. На некоторых экземплярах от бугорков начинаются ясно выраженные поперечные ребра, которые протягиваются к нижнему краю последнего оборота. Устье высокое, узкое с тремя внутренними спиральными складками, помещенными на столбике.

Обоснование выделения вида. Ренье к описываемому виду наряду с типичными формами отнес также экземпляр (1, 1930, табл.
XXVIII, фиг. 21), который несомненно принадлежит к P. vediensis
sp. nov. От рассматриваемого вида P. beyrichi (Drescher) (4, 1863,
стр. 237, табл. 9, фиг. 1), описанный из нижнего сенона Германии,
отличается более округлыми и мало цилиндрическими очертаниями
раковины и меньшим числом бугорков на верхнем крае оборотов. От
вышеописанного P. pčelincevi sp. nov. рассматриваемый вид отличается менее открытым вершинным углом спирали, сравнительно узким последним оборотом, более многочисленными, но не крупными
бугорками.

Время существования и географическое распространение.

Нижний сенон. Южная Африка, Армянская ССР.

Местонахождение. Армянская ССР, Степанаванский р-он, с. Куйбышев (левый берег р. Желтой)—5 экз., Вединский район, с. Енгиджа экз. Конгломераты нижнего сепона.

Институт геологических наук Акатемии наук: Армянскон ССР

L. B. ZUYNF3UV

Հայկական ՍՍՕ- ուշկավճային նու փուուանինեւ

այկական ՍՍՈՒ Վեզու և Սանփանավանի շրջաններում 1959-61 թթ. հեղինակի Կավձի հասակի ապառներում մանրամասն ուսումնասիրության ժամանակ նրան-Սորավարված է հարուստ ֆատնա, որի մենագրական մշակումը հնարավորություն է տալիս փորոտանիների բազմաթիվ հայտնի տեսակների հետ միասին առանձնացնել _{նակ} նոր տեսակներ, որոնք պատկանում են Purpuractaeon նոր սնոին։

Ներկա հողվածում արվում է նոր սեռի բնութագիրը և նրան վերադրվող հետևյալ տեսակների համասոտ նկարագրությունը.

- 1. Purpuractaeon peelineevi Hacobjan gen. et sp. nov. (ընդունվում է որպե, սեսի ընտրալ տեսակ), ադյ. [, նկ. 3, 4, 5.
 - 2. Purpuracteon vediensis Hacobjan gen. et sp. nov., wyj. 11, 44, 1, 2, 3
 - 3. Purpuractaeon conicus Hacobjan gen. et sp. nov. 1191. 1. 24. 1.
- 1. Purpuractaeon woodsi (Rennie), ազբ. 11. Նկ. 3 Նար տեսը ընտրել և ատղ.

ЛИТЕРАТУРА — ԳРИЛИИ БИРМЗИРЬ

Pondoland (with on Appendix on some Species from the Cretaceous of Zululand). Ann. S. Afr. Mus., v. 28, 1930. * E. Holzapfel, Die Mollusken der Aachener Kreide. Palaeontographica, Bd. 34, Stuttgart, 1887—1888. * J. Mutler Monographie der Petrefacten der Aachener Kreideformation. Bonn. 1851. * K. Drescher, Ueber die Kreidebildungen der Gegend von Löwenberg. Zeitschr. d. deutsch. Geol. Ges., Bd. 15, 1863. * H. Woods. The Cretaceous Fauna of Pondoland. Ann. S. Afr. Mus., v. 4, pt. 7, 1906.

ТАБЛИЦА Т

Фит. *Ia*, *16 Purpuracteon conicus* Насобјал gen. et sp. nov. Раковина типичного экземпляра № 15/105, пат. вел. Армянская ССР, Велинский р-он, с. Енгиджа. Нижим сенон. Сборы В. Т. Акопяна, 1961;

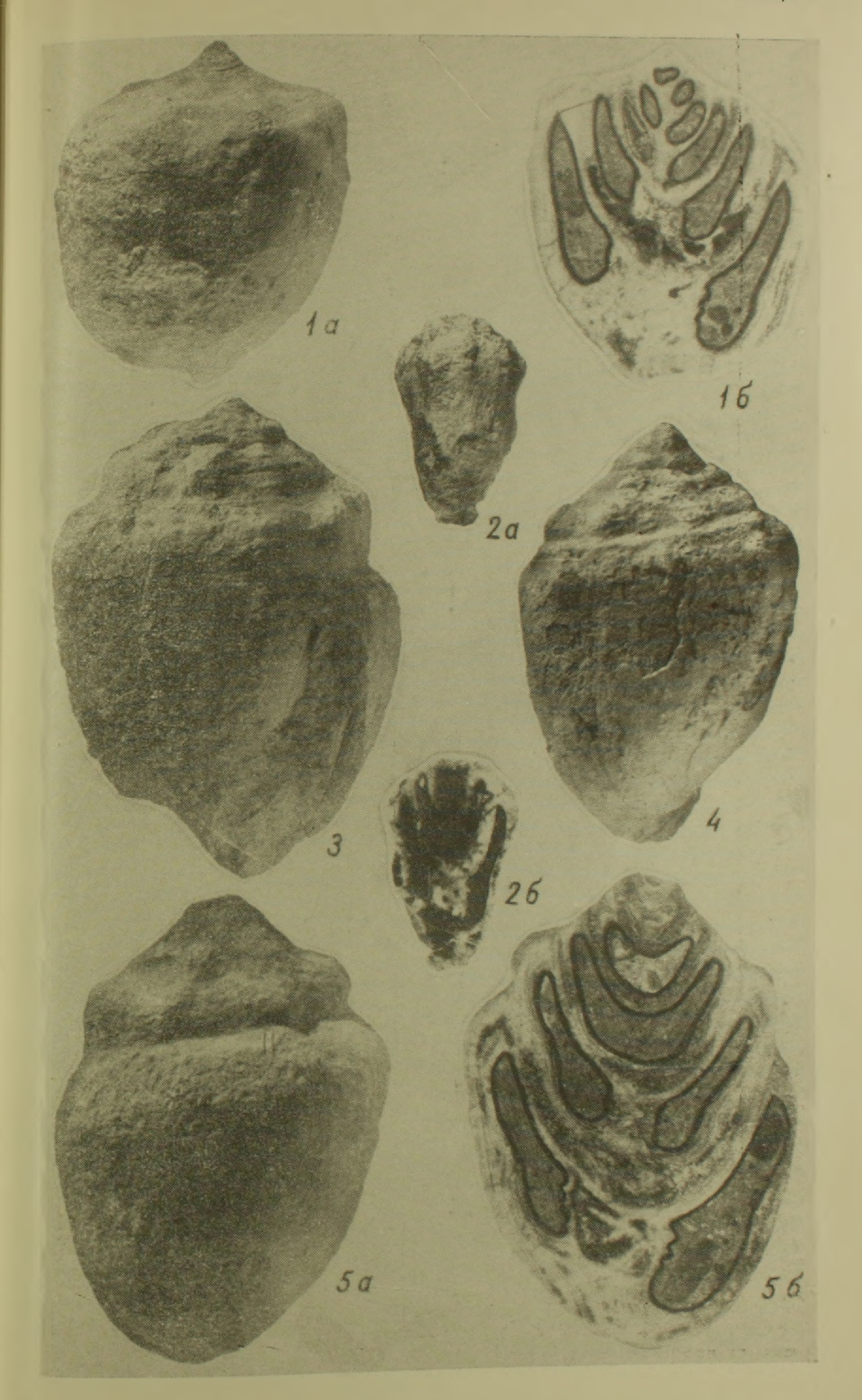
фиг. 2a, 2б—Pur puractaeon woodsi (Rennie). Раковина экземпляра № 20/105, на вел. Армянская ССР, Степанаванский р-он, с. Куйбышев. Нижний сенон. Сборы В Т Аконяна, 1959;

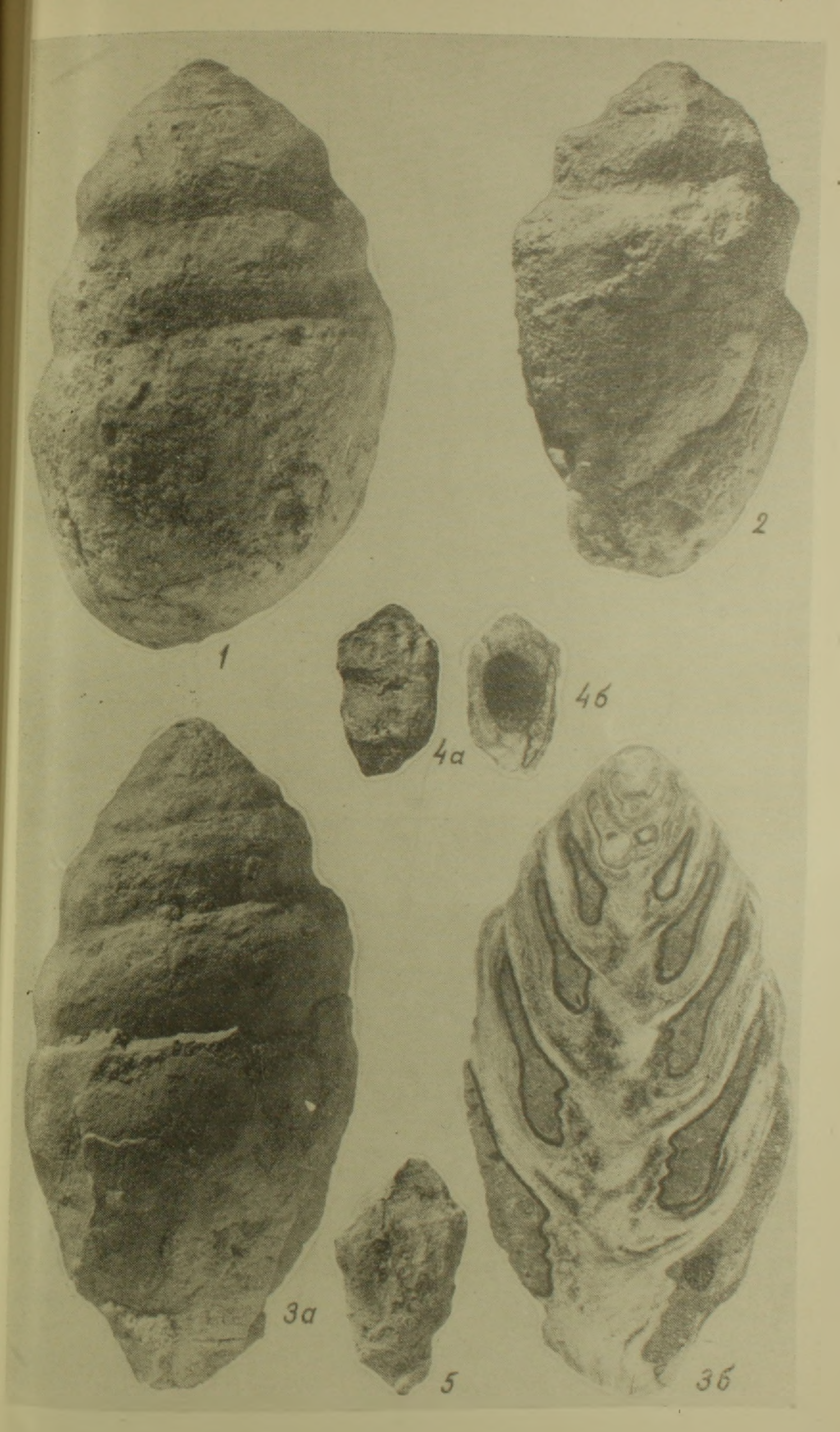
фиг. 3—5—Purpuractaeon péelincevi Наообјап gen. et sp. nov. 3— раковина экземпляра № 2/105, нат. вел.; 4—раковина экземпляра № 18 105, нат. вел.; 5а—56—раковина типичного экземпляра № 3/105, нат. вел. Армянская ССР, Вединский р-он, с. Енгилжаний сенон Сборы В. Т. Аконяна, 1961.

ТАБЛИЦА П

Фиг. 1 3 Parpuractaeon vediensis Hacobjan gen. et sp. nov. 1 раковина типичного экземпляра № 4/105; нат. вел.; 2 раковина экземпляра № 1/105, нат. вел. За, 36 раковина экземпляра 5/105, нат. вел. Армянская ССР, Вединский р-он, с. Евриджа. Нижний сенон. Сборы В. Т. Акопяна, 1961;

фиг. 4—5—Purpuractaeon woodsi (Rennie). 4a. 4б—раковина экземпляра № 25/105, нат. вел.; 5—раковина экземпляра 26/105, нат. вел. Армянская ССР. Степанаванский р-он, с. Куйбышев. Нижний сенон. Сборы В. Т. Акопяна, 1959.





БИОЛОГИЯ

М. Х. Чайлахян, чл.-корр. АН Армянской ССР, А. А. Меграбян, Н. А. Карапетян и Н. Л. Каладжян

() действии ростовых активаторов на образование клубеньков и рост растений люцерны

(Представлено 15/VII 1962)

Действие ростовых активаторов типа гетероауксина и гиббереллина на рост растений имеет свои специфические черты: гетероауксин в большей мере стимулирует образование и рост корней, косвенным образом влияя на рост надземных органов, тогда как гиббереллин в первую очередь влияет на рост надземных органов и в меньшей мере на рост корней.

При изучении влияния этих активаторов на процесс образования клубеньков на корнях бобовых растений было установлено, что обработка растений гиббереллином или существенным образом не изменяет, или даже вызывает депрессию в образовании клубеньков (1-4). В нашей предыдущей работе (5), наряду с гиббереллином испытывалось также действие гетероауксина и было показано, что в отличие от гиббереллина обработка растений гетероауксином приводит к усилению образования клубеньков и роста корней, в связи с чем повышается сырой и сухой вес надземных органов растений в целом.

В целях проверки действия гетероауксина и гиббереллина на бобовые растения в полевых условиях, в 1961 году нами проводился опыт с люцерной на территории опытного участка Института микробиологии Академии наук Армянской ССР. Растения выращивались на делянках размером 14,5 кв. метров и обрабатывались путем опрыскивания растворами ростовых активаторов. Схема опыта состояла из четырех вариантов: 1) гетероауксин 0,01%, 2) гиббереллин 0,01%, 3) гетероауксин 0,005% и гиббереллип 0,005% и 4) контроль, вода. Поскольку каждый вариант имел четыре новгорности, весь опыт занимал 16 делянок общей площадью 232 кв. метров.

Семена люцерны до посева дезинфицировались раствором сулемы в разведении 1:1000 в течение одного часа, затем многократно промывались стерильной водой. После этого они заражались суспензией соответственного штамма клубеньковых бактерий люцерны и высеванись на делянках. Опрыскивание растений растворами гетероауксина,

гиббереллина и водой было начато за месяц до цветения и было произведено в три срока с недельными промежутками.

В течение опыта проводились фенологические наблюдения и промеры роста растений. В фазе цветения перед первым укосом со всех делянок были взяты пробы по 10 растений и был произведен учет высоты растений, сырого и сухого веса надземных частей и корней, число и вес клубеньков. В таблице приводятся все эти данные, как средние из четырех повторностей, т. е. из 40 растений (10 растенийх 4 повторности). Кроме того, в таблице приводятся данные по урожаю люцерны всех трех укосов, произведенных в течение летнего периода вегетации.

Влияние ростовых активаторов на рост, образование клубеньков и урожай растении

		- 1								
	расте-	Сухой вес 10 растении			Образование клубеньков у 10 растений		Урожай с 1 грядки в кг			
Варианты опыта	Высота ний в сл	надзем- ных ор- ганов	корней	общий	число	Bec B 2	первый	второй укос	третий	общий
Контроль	62	20,1	8,5	28,6	154	0,38	18.0	29,7	23,5	71.2
Гетероауксии 0,010	70	27,3	8,4	35,7	207	0,70	24,0	33,8	28,6	86.4
Гиббереллин (),()10%	71	22,3	6,7	29,0	158	0,32	24,7	28,1	25,5	78,3
Гетероауксин 0,005°, о и гиббереллин 0,005°/о	66	23,4	8,0	31,4	180	0,49	21,0	28,9	27,9	77.8

Данные таблицы показывают, что при опрыскивании растений вобытьющерны растворами гетероауксина и гиббереллина рост растений вобытью усиливается, но вес падземных органов и растений в целом значительно увеличивается только при действии гетероауксина. Так, если сухой вес 10 контрольных растений в период цветения равняется 28,6 г, то при обработке гетероауксином вес повышается до 35,7 г. а в вариантах с гиббереллином и смесью гиббереллина и гетероауксина соответственно 29,0 и 31,4 г.

В таком же соотношении оказалось и образование клубеньков на корнях растений: в контроле число клубеньков на 10 растений было 154 и вес 0,38 г, при воздействии на растения гетероауксином число клубеньков увеличилось до 207 и вес до 0,70 г. В варианте со смесью гетероауксина и гиббереллина было небольшое усиление процесса образования клубеньков, а в случае воздействия отдельно взятым гиббереллином этот процесс проходил примерно так же, как и у контрольных растений.

Учет урожая показал, что во всех вариантах опыта второй укос является наиболее урожайным. Общий урожай трех укосов в среднем на делянку в контроле был 71,2 κ г, в варианте с гетероауксином оповысился до 86,4 κ г, а в других вариантах повышение урожая против контроля было меньше -78,3 и 77,8 κ г.

результаты проведенного опыта показали, что в полевых условиях опрыскивание растений люцерны растворами гетероауксина приводит к усилению процессов роста и образования клубеньков и к увеличению веса растений и общего урожая. Опрыскивание растений растворами гиббереллина не способствовало процессу образования клубеньков, но привело к увеличению веса и общему повышению урожая, как это было в опытах Г. Б. Бабаян и С. А. Карагулян (в).

В течение вегетационного сезона следующего 1962 года на том же опытном участке проводился учет урожая люцерны пяти укосов и образования клубеньков на корнях растений с целью выяснения последействия росговых активаторов, поскольку в этом году опрыскивания растений гетероауксином и гиббереллином не производились. Эти данные приводятся в табл. 2.

Таблица 2
Последействие ростовых активаторов на образование клубеньков и
урожай растений

		Уp	л 10 растении клубента св Образование					
Варианты опыта	первый	второй	третий	четвер-	пятый	общий	число	nec
Контроль	33,1	37,4	32,8	31,4	22,4	157,1	95	0.12
Гетероауксин 0,01%	39,8	40,6	36,7	33,7	24,1	174.9	156	0,20
Гиббереллин 0,01°/0	35,0	35.8	32,9	31,1	22,8	157,6	126	0.16
етероауксин (),005°/0 н гиббереллин (),005°/0	35,3	38,4	32,6	30,1	20,8	157,2	84	0.12

Эти данные показывают, что последействие гетероауксина на следующий год вегетации сказывается в весьма отчетливой форме, сохраняется более усиленный процесс образования клубеньков и повышение урожая люцерны во всех пяти укосах. Последействие гиббереллина не сказалось на увеличении урожая растений, как это было в первый год, когда производилось непосредственное опрыскивание растений водным раствором гиббереллина.

Таким образом, положительное действие и последействие гетероауксина на увеличение урожая люцерны можно объяснить и прямым его влиянием на усиление ростовых процессов и косвенным влиянием перез стимуляцию процесса образования клубеньков.

Институт микробиологии Академии наук Армянской ССР

Մ. Խ. ՉԱՅԼԱԽՅԱՆ, Ս. Ա. ՄԵՀՐԱԲՅԱՆ, Ն. Ա. ԿԱՐԱՊԵՏՅԱՆ ԵՎ Ն. Լ. ՔԱԼՍՋՅՑՆ

Անման ակթիվացունեւի ազդեցությունը տուվույչի անման և պայարիկնեւի առաջացման վոս

1961 թվին, ըույսերի վեղետացիայի շրջանում, Հայկական ՍՍՌ Գիտությունների ^{ակադեմ}իայի Միկրոբիոլոգիայի ինստիտուտի փորձադաչտի տերիտորիայում. դրվել են ւփորձեր դետերոտութսինի, դիրերելինի և նրանց խառնուրդի տղղեցությունը, առվույտի բերջի և պալարադոյացման վրա, պարդելու ուղղությամը։ Փորձը տարվել է սրսկման ժե խողով:

Պարզվել է, որ դետերոտուքսինի ազդեցությամբ ուժեղանում է բույսերի աձր պայարիկների տոտջացումը և մեծանում է բույսերի ընդհանուր <mark>բերքը։</mark>

Դիրերելինի աղդեցությամբ չի ուժեղանում պալարիկների առաջացման պրոցեսը, ոտկայն խթանվում է րույսերի աճը և ստացվում է րույսերի ընդճանուր բերբի ոչ մեծ ճավելում։ Հետևյալ տարին միանգամայն որոշակիորեն արտաճայավում է դետերոաութսինի ճետազգեցությունը, ինչպես պալարիկների դոյացման, այնպես և առվույտի բերբի բարձրացման վրա։

են խաղովում է, որ դետերոտութսինի դրական ազդեցուխյունը կապվում է ինչպես նրա ուղղակի ազդեցուխյանը աշման պրոցեսների ուժեղացման վրա, նույնպես և անուղղակի աղղեցությանը բույսերի արմատների վրա պալարիկների առաջացման պրոցեսի խնանման միջոցով։

ЛИТЕРАТУРА — 9 Г 8 4 0 6 В Б В В Б Б

¹ У. У. Флемчер, Дж. У. Алкоры, Дж. С. Раймонд, Nature, 182, 4045. 1319 (1958). ² А. У. Галстон, Nature, 183, 4560, 545 (1959). ³ М. Г. Мес, Nature, 184, 4704. 2035 (1959). ³ Г. А. Турбер, Дж. Р. Дуглас и А. У. Галстон, Nature, 181, 4615, 2035 (1958). ³ М. Х. Чайлахян, А. А. Меграбян, Н. А. Карапетян и Н. Л. Каладжян, Известия АН АрмССР (биол. пауки, 14, 12, 25 (1961). § Г. Б. Бабаян и С. А. Карагулян, ДАН АрмССР, 31, 2, 91 (1900).

